



Introdução, *matched filter* do tipo *root raised cosine*, sincronismo de símbolo e portadora, simuladores 16-QAM.

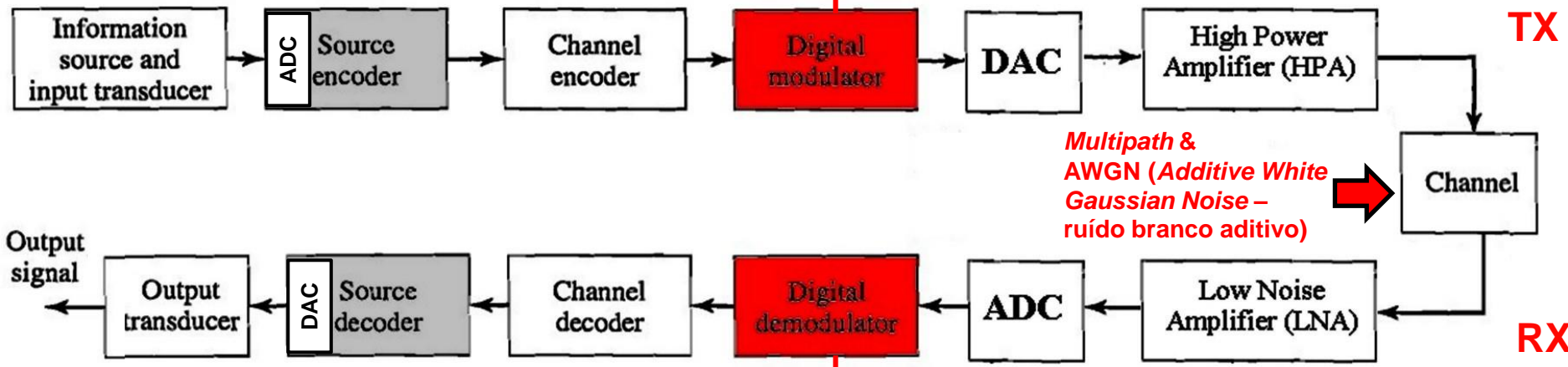
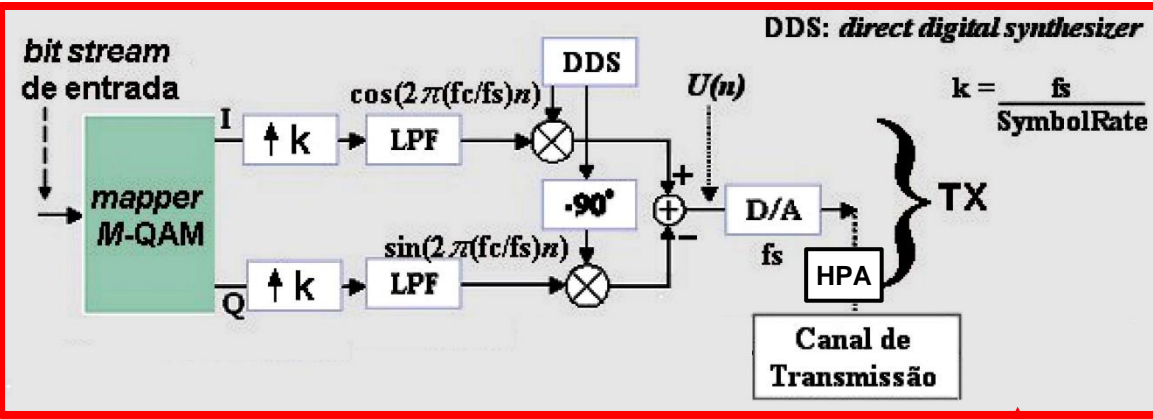
Centro de Tecnologia – Departamento de Eletrônica e Computação UFSM00265 – SISTEMAS DE COMUNICAÇÃO DIGITAL II

Prof. Fernando DeCastro

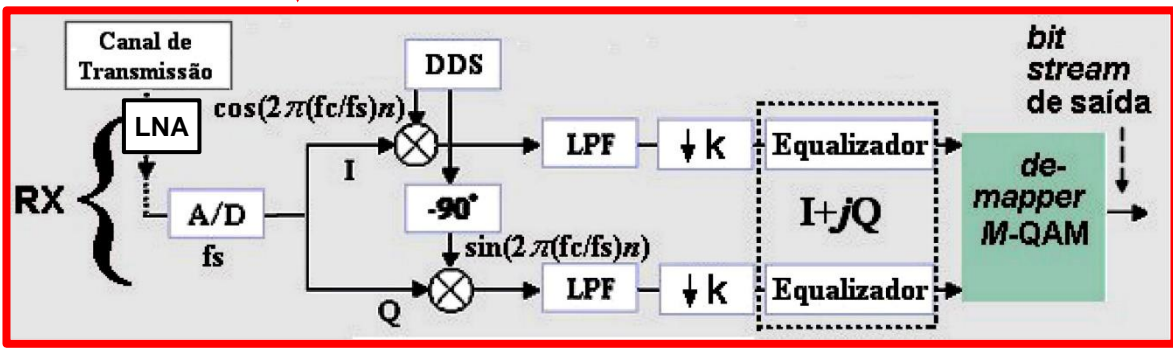


Introdução

Conforme já visto no Cap IV de UFSM00261 – SISTEMAS DE COMUNICAÇÃO DIGITAL I (ver https://www.fccdecastro.com.br/pdf/SCD1_CapIV.pdf), a partir do *bit stream* na saída do Codificador de Canal (“Channel encoder” na figura abaixo), o modulador no TX converte cada palavra binária deste *bit stream* que chega na sua entrada em “wavepackets” que se propagam no canal de transmissão (“Channel” na figura abaixo).

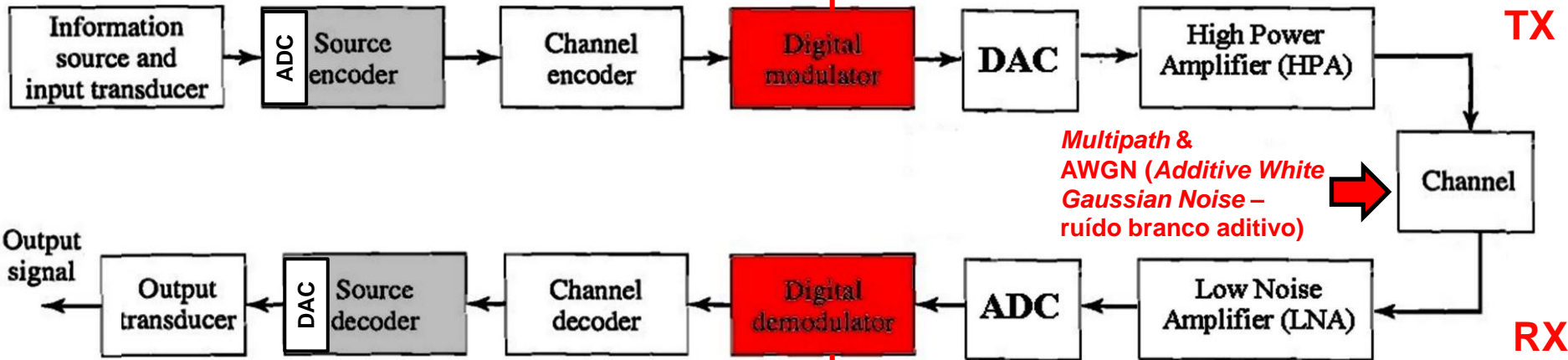
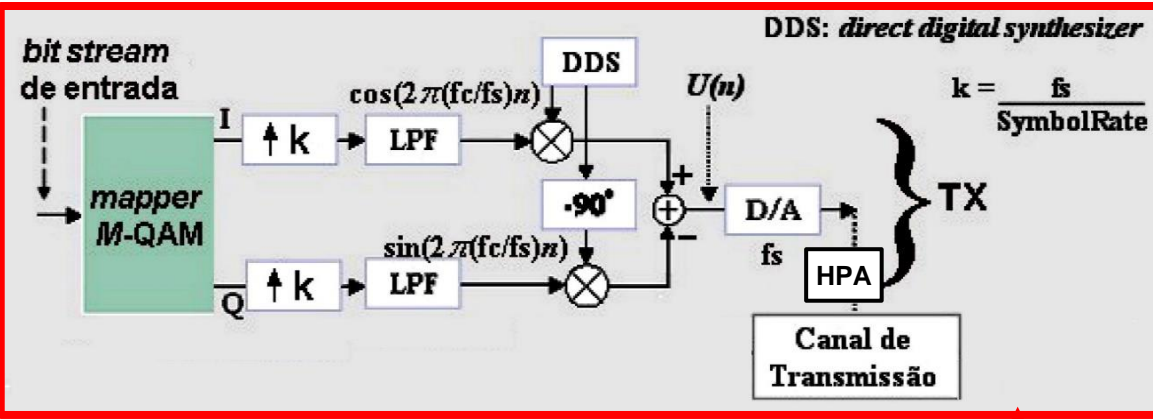


Para cada palavra binária do *bit stream* o correspondente *wavepacket* no canal representa uma onda EM (EM = eletromagnética) de amplitude A e/ou fase φ e/ou frequência f distintos. O parâmetro variado na onda (A e/ou φ e/ou f) depende do tipo de modulação adotado (QAM, PAM, PSK, FSK), conforme vimos no Cap IV de UFSM00261.

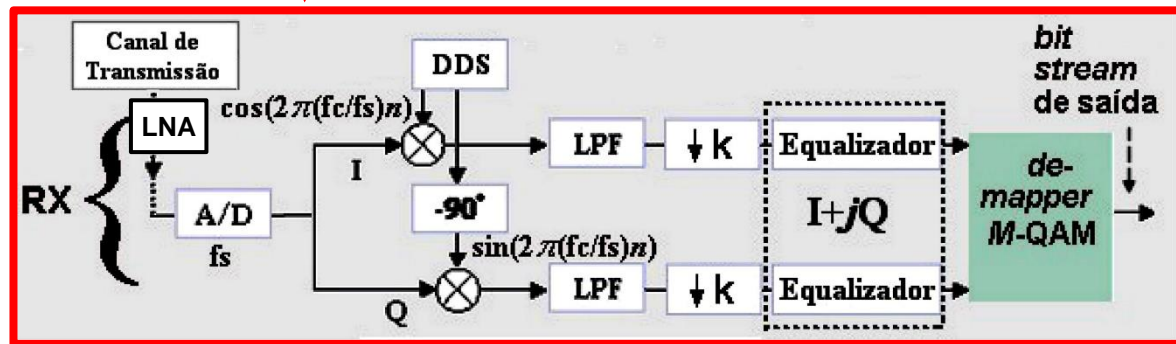


Introdução

O demodulador no RX reconverte cada *wavepacket* recebido do canal na palavra binária correspondente *no bit stream* de entrada do modulador no TX e que a ele deu origem.

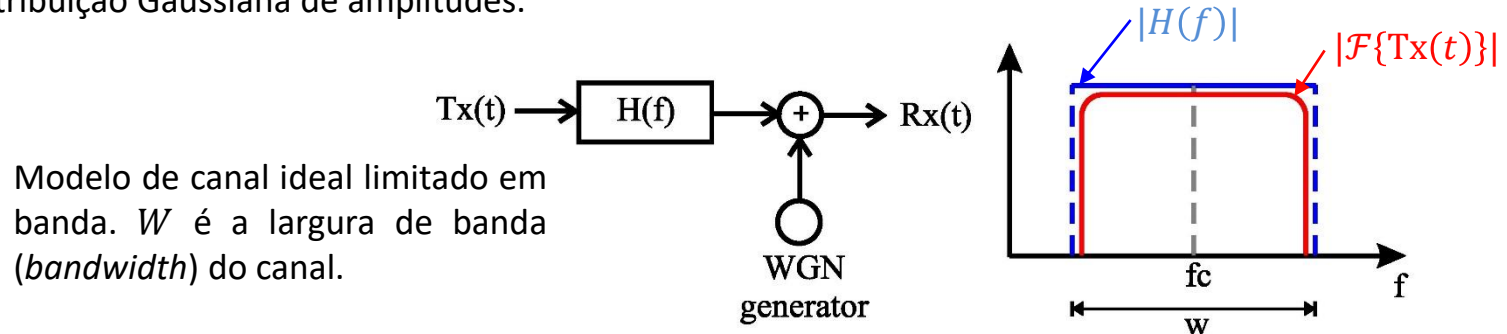


A fidelidade da palavra binária no *bit stream* na saída do demodulador do RX em relação à palavra binária correspondente no *bit stream* na entrada do modulador do TX depende do quanto a onda EM transmitida pelo TX tenha sido degradada por ruído e *multipath* no canal de transmissão, conforme discussão no próximo slide.

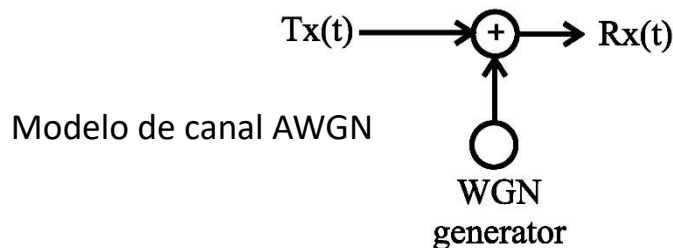


Introdução

O canal de transmissão do enlace entre TX e RX é modelado por um filtro passabanda com função de transferência $H(f)$ que idealmente apresenta uma curva de magnitude $|H(f)|$ plana ao longo de toda largura W do espectro $\mathcal{F}\{Tx(t)\}$ do sinal $Tx(t)$ do transmissor, sendo $\mathcal{F}\{\cdot\}$ o operador que retorna a Transformada de Fourier do argumento $\{\cdot\}$. Na saída do filtro é acrescentado um gerador de ruído branco (WGN – *White Gaussian Noise*), conforme mostra a figura abaixo, para efeito de modelar o conjunto de todas as fontes de ruído cujo ruído se somam ao sinal $Tx(t)$ ao longo do canal de transmissão, e que, pelo teorema do limite central (ver [https://en.wikipedia.org/wiki/Additive white Gaussian noise](https://en.wikipedia.org/wiki/Additive_white_Gaussian_noise)), resulta em um ruído com distribuição Gaussiana de amplitudes.

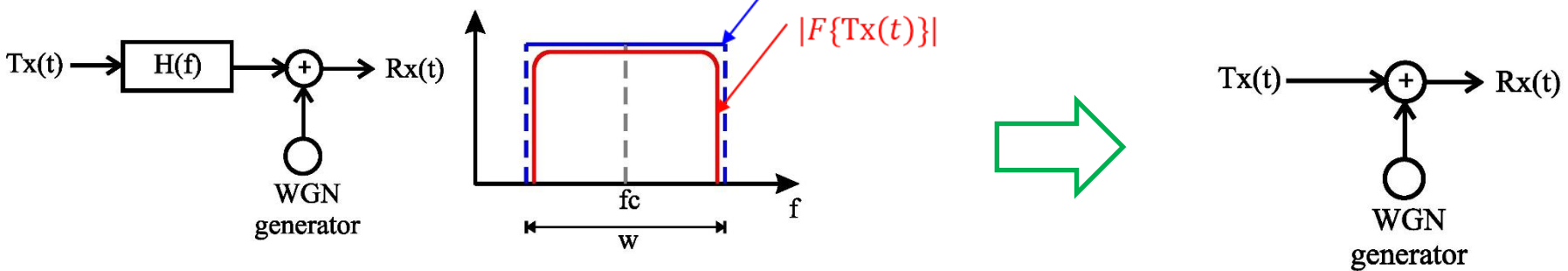
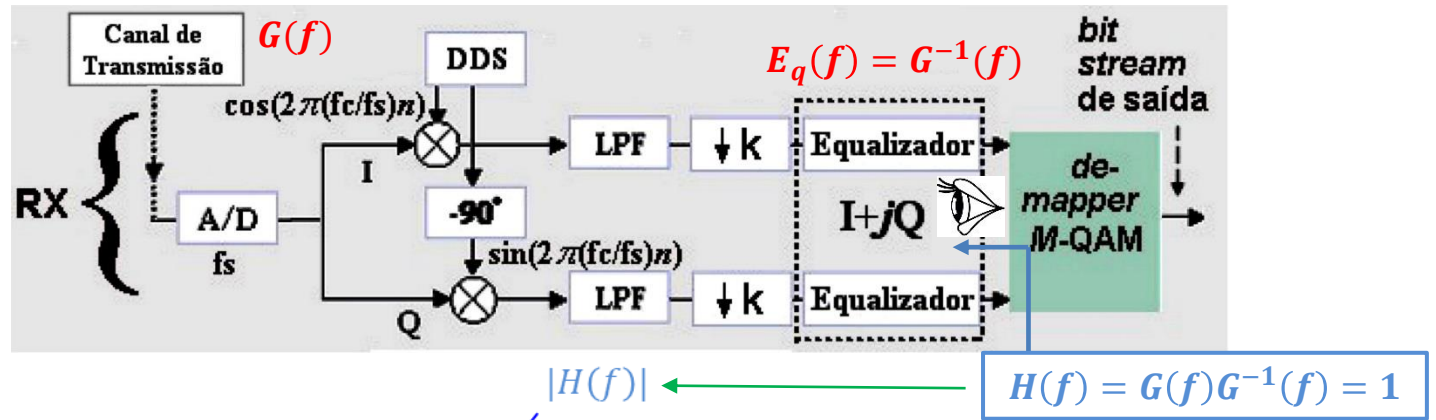


Dado que, idealmente, a curva de magnitude $|H(f)|$ é plana ao longo de toda largura W da curva de magnitude $|\mathcal{F}\{Tx(t)\}|$ do espectro do sinal $Tx(t)$, então a função de transferência $H(f)$ do filtro que representa o canal deixa passar sem qualquer alteração de magnitude ou fase a totalidade das componentes espectrais do sinal $Tx(t)$. Portanto, a única degradação do sinal $Tx(t)$ em um canal cuja $H(f)$ do filtro deixa passar “intocáveis” (sem qualquer alteração de magnitude ou fase) a totalidade das componentes espectrais de $Tx(t)$ é a degradação causada pela adição do ruído do gerador WGN. Assim, por não interagir com as componentes espectrais do sinal $Tx(t)$, o filtro com função de transferência $H(f)$ pode ser retirado do modelo de canal acima, simplificando o modelo de canal ideal limitado em banda para o modelo de canal AWGN (*Additive White Gaussian Noise*), em que a única degradação imposta pelo canal é a adição de ruído branco Gaussiano:



Introdução

Ocorre que o modelo de canal ideal limitado em banda só existe na prática por ação do equalizador do RX, cujo hardware implementa um filtro adaptativo com função de transferência $E_q(f)$ que idealmente aproxima a função de transferência inversa $G^{-1}(f)$ da função de transferência $G(f)$ do canal (equalizadores serão estudados adiante nesta disciplina). Como o bloco do canal de transmissão está em série com o bloco do equalizador no diagrama do RX (vide abaixo), então a função de transferência conjunta dos dois blocos, que é o que o *de-mapper* “vê” na sua entrada, é $H(f) = G(f)G^{-1}(f) = 1$. Especificamente, o equalizador é um sistema adaptativo que busca identificar as frequências dos zeros da $G(f)$ que são estabelecidos pelo cenário de *multipath* no canal, tentando fazer com que os pólos de sua função de transferência $E_q(f) \cong G^{-1}(f)$ ocorra nas frequências dos zeros de $G(f)$, de modo que os polos do equalizador anulem os zeros do canal, e a função de transferência resultante $H(f) = G(f)G^{-1}(f) = 1$ “vista” pelo *de-mapper* seja a função de transferência de um canal ideal limitado em banda, e, em consequência, o canal seja “visto” pelo RX como um canal AWGN:

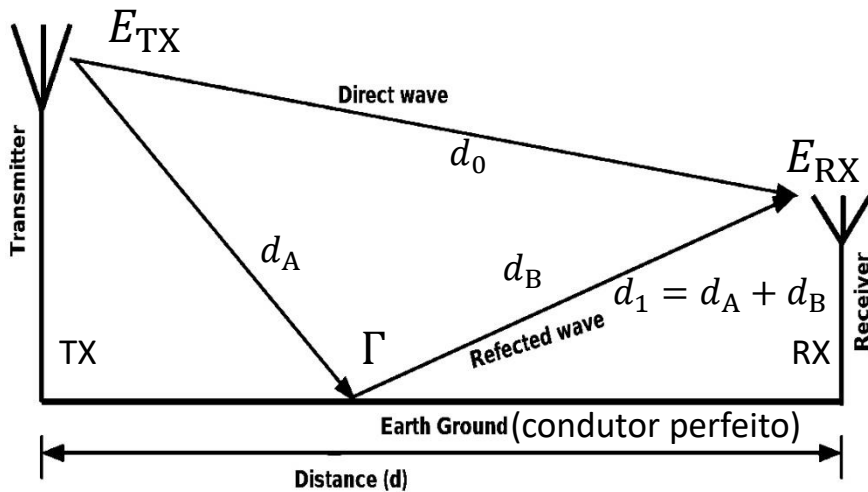


Modelo de canal ideal limitado em banda. W é a largura de banda (*bandwidth*) do canal.

Modelo de canal AWGN

Introdução

O motivo pelo qual o cenário de *multipath* estabelece zeros na função de transferência $G(f)$ do canal decorre da interferência destrutiva que ocorre no RX entre as diversas frente de onda que nele incidem, e que dependendo da fase e amplitude relativa entre elas, podem apenas se atenuarem mutuamente em determinadas frequências e em outras frequências podem totalmente se cancelar com resultante nula. Por exemplo, consideremos um caso simples de multipercurso (*multipath*) em que a onda do campo elétrico E_{TX} irradiado pela antena transmissora se propaga apenas em dois percursos (percurso = raio de propagação): uma onda direta que se propaga em um percurso direto cujo comprimento é d_0 e uma onda refletida que se propaga em um percurso com reflexão em condutor perfeito (coeficiente de reflexão $\Gamma = 1.0e^{-j180^\circ} = -1$) e cujo comprimento é $d_1 = d_A + d_B$. As duas ondas, direta e refletida, incidem e se superpõe na antena do RX, distante d da antena TX, de modo a formar o campo E_{RX} , conforme figura abaixo.



O campo elétrico $E(r)$ de uma onda EM de frequência f que se propaga no espaço livre na direção \hat{r} do raio de propagação, com valor $E(r_0)$ medido na posição $r = r_0$, resultará em um campo elétrico $E(r_0 + d) = E(r_0) \left(\frac{r_0}{r_0 + d} \right) e^{j\frac{2\pi d}{\lambda}}$ medido na posição $r = r_0 + d$, onde $\lambda = \frac{c}{f}$ é o comprimento de onda e $c = 2.998 \times 10^8$ m/s é a velocidade da luz. Ou seja, a amplitude do campo E de uma onda EM que se propaga no espaço livre varia inversamente com a distância d percorrida e sua fase gira 360° ($= 2\pi$ rad) a cada distância d percorrida equivalente a um comprimento de onda λ .

Portanto, sendo r_0 a posição em que se mede o campo E_{TX} , a superposição das duas ondas, direta e refletida, que incidem na antena do RX, resultam em um campo elétrico E_{RX} dado por:

$$E_{RX} = E_{TX} \frac{r_0}{(r_0 + d_0)} e^{j\frac{2\pi d_0}{\lambda}} + E_{TX} \Gamma \frac{r_0}{(r_0 + d_1)} e^{j\frac{2\pi d_1}{\lambda}} = E_{TX} \left(\overbrace{\frac{r_0}{(r_0 + d_0)} e^{j\frac{2\pi f d_0}{c}} - \frac{r_0}{(r_0 + d_1)} e^{j\frac{2\pi f d_1}{c}}}^{G(f) \text{ do canal}} \right)$$

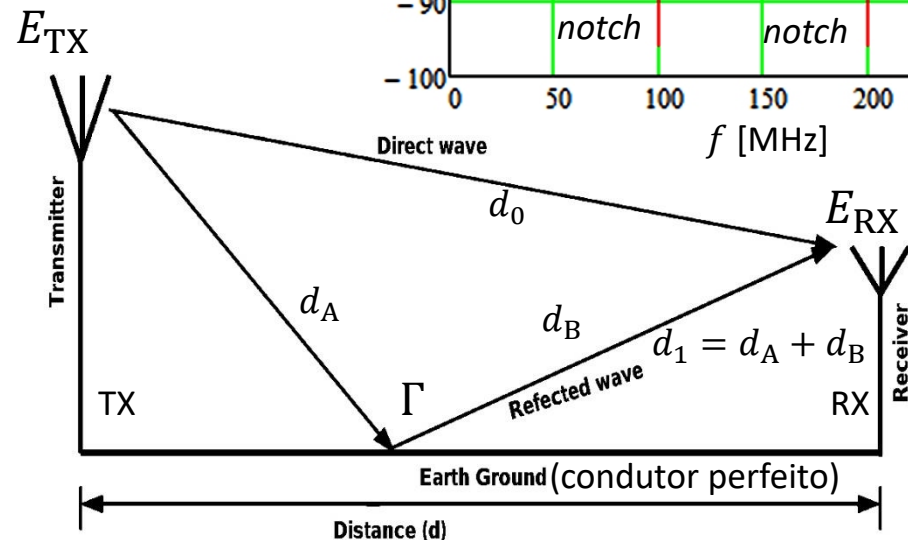
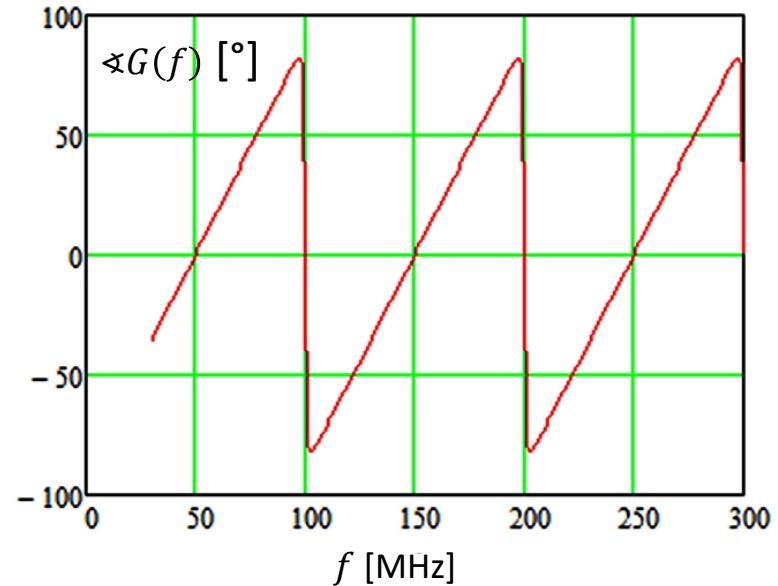
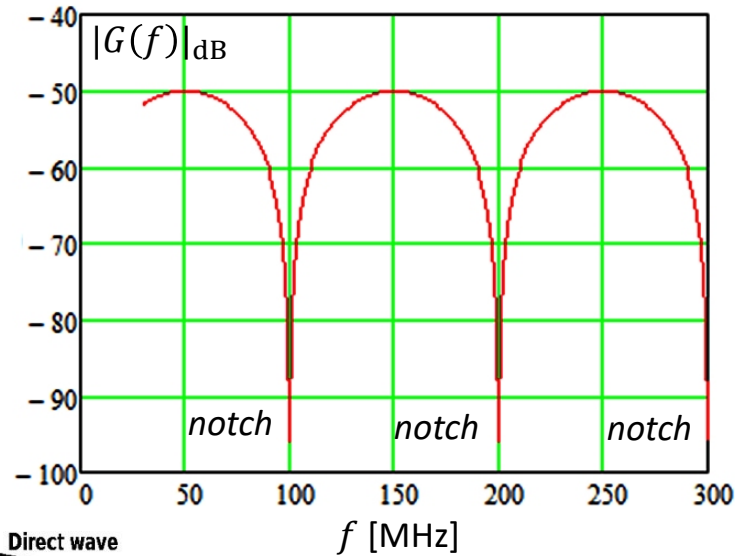
Ocorre Interferência destrutiva entre as ondas direta e refletida quando $\left(\frac{r_0}{(r_0 + d_0)} e^{j\frac{2\pi f d_0}{c}} - \frac{r_0}{(r_0 + d_1)} e^{j\frac{2\pi f d_1}{c}} \right) \cong 0$, que é equivalente à condição $\frac{(r_0 + d_0)}{(r_0 + d_1)} e^{j\frac{2\pi f (d_1 - d_0)}{c}} \cong 1$.

Introdução

Por exemplo, consideremos o enlace abaixo com um percurso direto e um percurso com reflexão em condutor perfeito perfeito (coeficiente de reflexão $\Gamma = 1.0e^{-j180^\circ} = -1$), operando em $f_c = 100$ MHz ($\lambda = \frac{c}{f_c} = 2.998$ m), com $r_0 = \lambda/2\pi = 47.713$ cm, $d_0 = 100\lambda = 299.792$ m, $d_1 = 101\lambda = 302.790$ m. Os gráficos de magnitude (em dB) e fase (em graus) de $G(f)$ na faixa $30\text{MHz} < f < 300$ MHz e as frequências dos zeros de $G(f)$ na faixa especificada são:

$$G(f) = \left(\frac{r_0}{(r_0 + d_0)} e^{j\frac{2\pi f d_0}{c}} - \frac{r_0}{(r_0 + d_1)} e^{j\frac{2\pi f d_1}{c}} \right) \rightarrow |G(f)|_{\text{dB}} = 20\log(|G(f)|) \quad \angle G(f) = \text{atan2} \left(\frac{\text{Im}\{G(f)\}}{\text{Re}\{G(f)\}} \right)$$

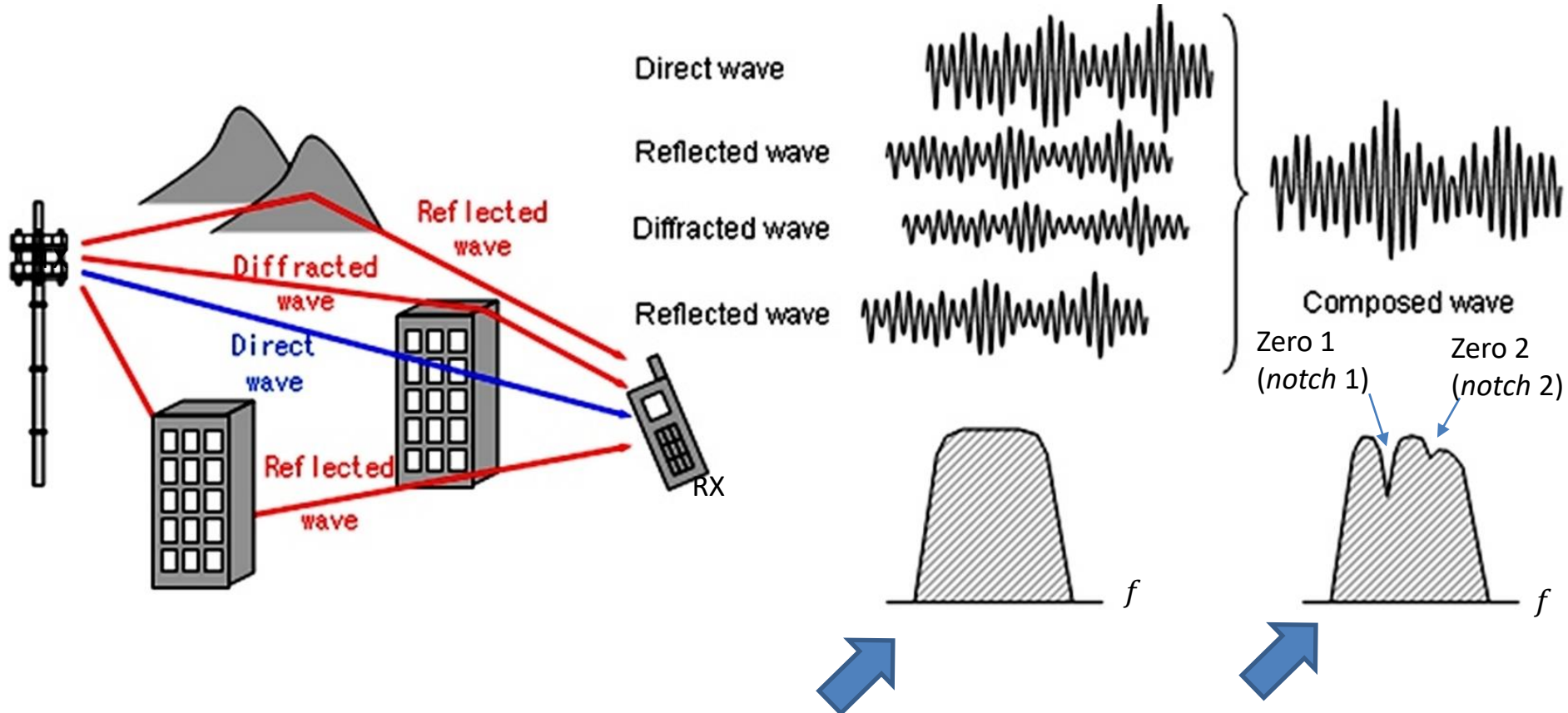
Nota: A função atan2() delimita a faixa de variação angular da fase no intervalo $[-180^\circ, +180^\circ]$ (ver <https://en.wikipedia.org/wiki/Atan2>).



Frequências dos zeros de $G(f)$: 100 MHz, 200MHz e 300MHz, respectivamente correspondendo aos 3 *notches* na curva de $|G(f)|_{\text{dB}}$. Note que o sinal é transmitido em $f_c = 100$ MHz, portanto o zero de $G(f)$ em $f = 100$ MHz anula o sinal recebido.

Introdução

A figura abaixo mostra um cenário de *multipath* com um percurso direto, dois percursos com reflexão e um percurso com difração. Este cenário de multipercurso estabelece múltiplos zeros na função de transferência $G(f)$ do canal decorrentes da interferência destrutiva que ocorre no RX entre as diversas frentes de onda que nele incidem, interferência que depende da fase e amplitude relativa entre as frentes de onda.

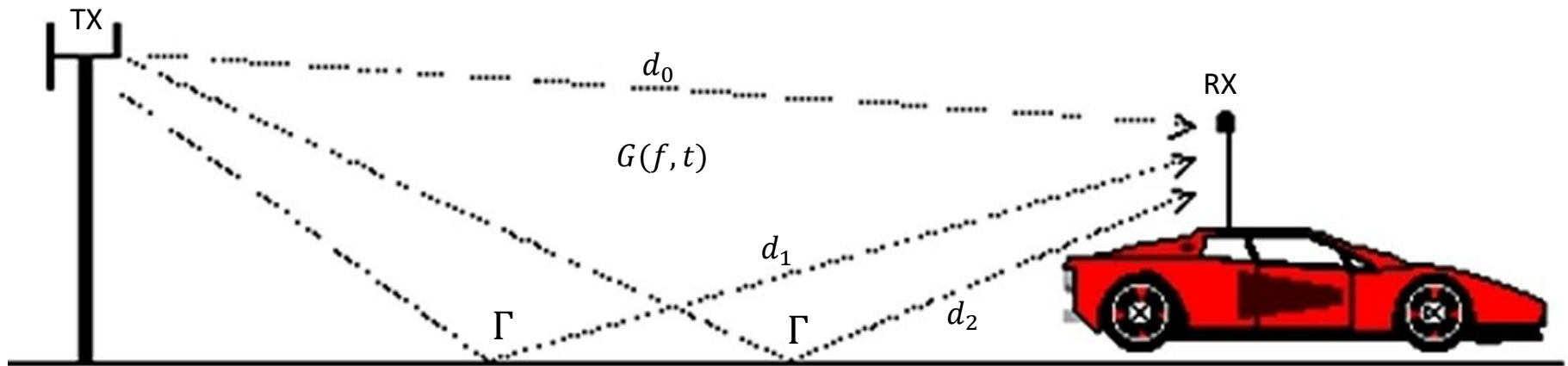


Curva de magnitude do espectro do sinal recebido no RX caso houvesse somente o caminho direto (não há reflexão nem difração).

Curva de magnitude do espectro do sinal recebido no RX degradada pelos *notches* de $G(f)$ resultantes da interferência destrutiva que ocorre em consequência do cenário de multipercurso do canal.

Introdução

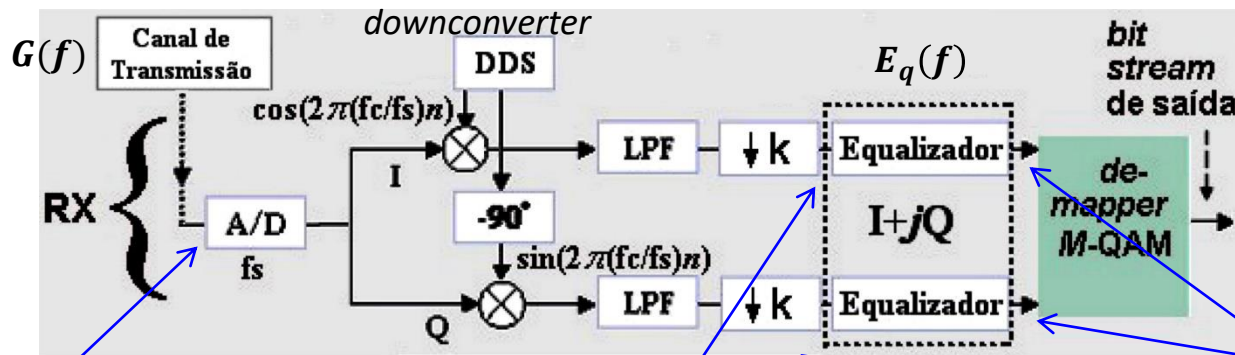
A figura abaixo mostra um cenário dinâmico de *multipath* com um percurso direto e dois percursos com reflexão em solo condutor perfeito (coeficiente de reflexão $\Gamma = 1.0e^{-j180^\circ} = -1$). Os zeros da função de transferência $G(f)$ do canal (decorrentes da interferência destrutiva que ocorre entre as ondas que incidem no RX) variam sua frequência de acordo com a posição do RX que está em movimento. Os zeros variam sua frequência porque, conforme visto no slide 6, ocorre interferência destrutiva entre as ondas direta e refletidas quando $\left(\frac{r_0}{(r_0+d_0)} e^{j\frac{2\pi f d_0}{c}} - \frac{r_0}{(r_0+d_1)} e^{j\frac{2\pi f d_1}{c}} - \frac{r_0}{(r_0+d_2)} e^{j\frac{2\pi f d_2}{c}} \right) \cong 0$, condição que depende não somente da frequência f como também depende das distâncias d_0 , d_1 e d_2 , as quais são função da posição momentânea do RX em movimento:



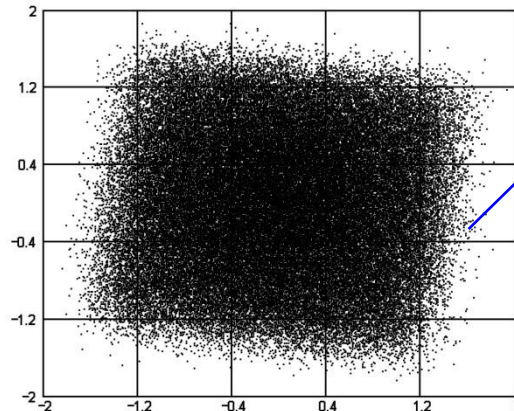
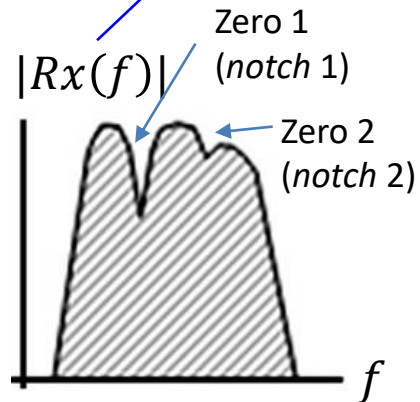
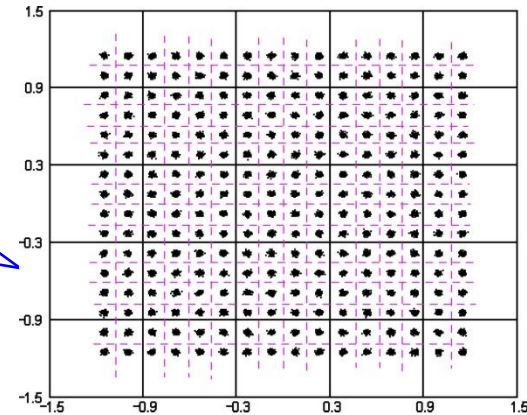
Como os zeros da $G(f)$ do canal variam sua frequência de acordo com a posição do RX em movimento, então a função de transferência $G(f, t)$ do canal será variante no tempo t , o que impõe um custo computacional elevado ao hardware que executa o algoritmo adaptativo do equalizador, dado que o algoritmo necessita não somente implementar a função de transferência inversa $G^{-1}(f, t)$ do canal como também deve ser capaz de se adaptar às variações no tempo de $G(f, t)$. Se o RX se movimenta em uma velocidade muito alta, o algoritmo adaptativo do equalizador pode falhar na tentativa de se adaptar às variações rápidas no tempo de $G(f, t)$, o que inviabiliza a determinação precisa de $G^{-1}(f, t)$.

Introdução

A figura abaixo mostra a degradação da magnitude $|Rx(f)|$ de espectro do sinal recebido (que é uma degradação no domínio frequência f causada pelos zeros na função de transferência $G(f)$ do canal estabelecidos pela superposição de ondas no cenário de *multipath* no canal, causando *notches* em $G(f)$) resulta simultaneamente em uma degradação no domínio tempo do sinal em banda-base após o *downconverter* do RX, dado que a superposição de ondas no canal implica simultaneamente na superposição de símbolos IQ na entrada do equalizador, gerando ISI (*Inter Symbol Interference* – interferência intersimbólica) conforme mostra a figura. Caso o processo adaptativo do equalizador seja apto a ajustar a função de transferência $E_q(f)$ do equalizador de modo a que a mesma implemente a função de transferência $G^{-1}(f)$ do canal, i.e., caso os polos de $E_q(f)$ cancelem os zeros de $G(f)$, então o RX “vê” o canal como um canal AWGN conforme discutido no slide 5:



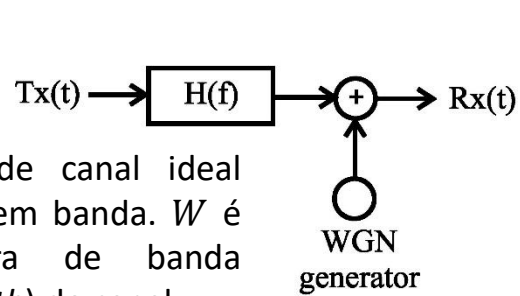
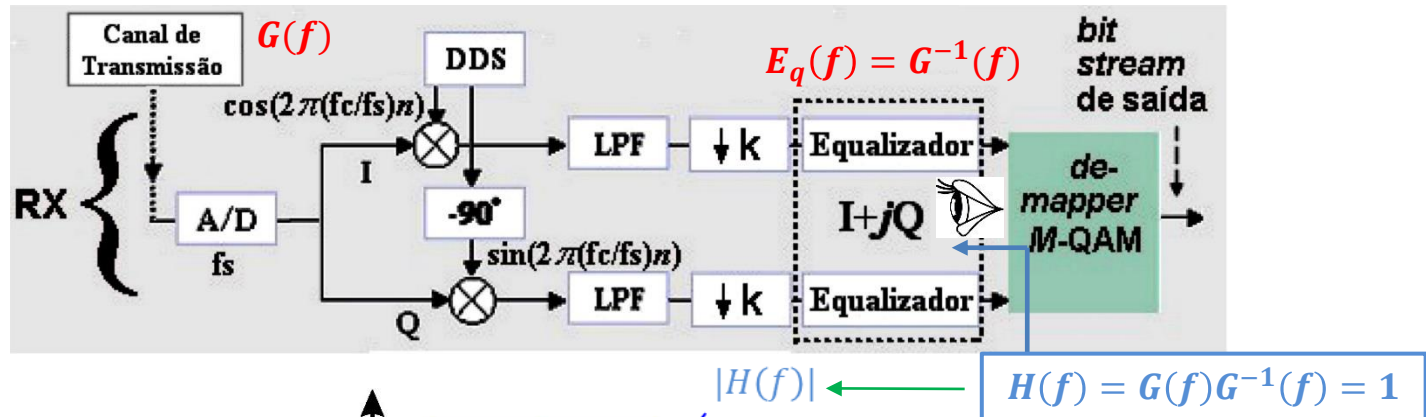
Símbolos IQ com ISI minimizada por ação de $E_q(f) = G^{-1}(f)$:



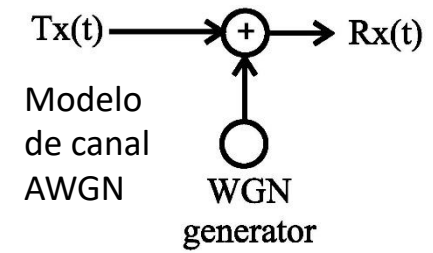
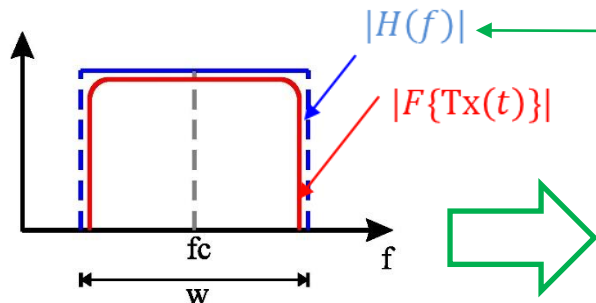
Símbolos IQ recebidos com ISI causada pelo *multipath* no canal. A ISI causa alta BER (*Bit Error Rate*) na saída do *de-mapper* caso o filtro adaptativo do equalizador falhe na tentativa de ajustar a sua função de transferência $E_q(f)$ de modo a que a mesma implemente a função de transferência $G^{-1}(f)$ do canal.

Introdução

Conforme discutido no slide anterior, quando o filtro adaptativo do equalizador é apto a ajustar a sua função de transferência $E_q(f)$ de modo a que a mesma implemente a função de transferência $G^{-1}(f)$ do canal, i.e., quando os polos de $E_q(f)$ cancelam os zeros de $G(f)$, então o RX “vê” o canal como um canal AWGN. A operação sob canal AWGN é a situação de operação considerada normal para um receptor digital, em que a BER (*Bit Error Rate*) na saída do *de-mapper* é minimizada pelo fato da ISI na entrada do *de-mapper* ter sido minimizada pelo equalizador.



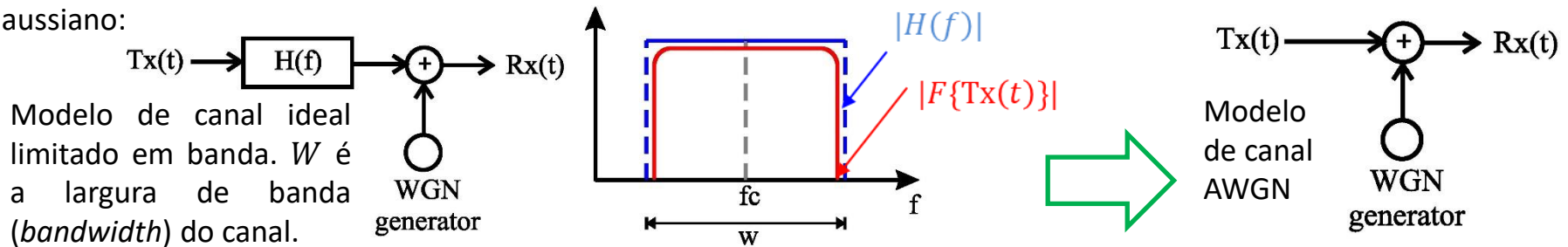
Modelo de canal ideal limitado em banda. W é a largura de banda (*bandwidth*) do canal.



Modelo de canal AWGN

Introdução

Para um canal AWGN, a única degradação do sinal $T_x(t)$ é a degradação causada pela adição do ruído do gerador WGN, porque um canal AWGN é um canal ideal limitado em banda cuja curva de magnitude $|H(f)|$ da sua função de transferência $H(f)$ é plana ao longo de toda largura W da curva de magnitude $|F\{T_x(t)\}|$ do espectro do sinal $T_x(t)$, conforme mostra a figura abaixo. Nesta situação, $|H(f)|$ deixa passar “intocáveis” (sem qualquer alteração de magnitude ou fase) a totalidade das componentes espectrais de $T_x(t)$. Por não interagir com as componentes espectrais do sinal $T_x(t)$, o filtro com função de transferência $H(f)$ pode ser retirado do modelo de canal limitado em banda, simplificando para o modelo de canal AWGN, em que a única degradação imposta pelo canal é a adição de ruído branco Gaussiano:



Note que se a curva de magnitude $|F\{T_x(t)\}|$ do espectro do sinal $T_x(t)$ não “couber” em banda dentro do retângulo da curva de magnitude $|H(f)|$ ao longo de toda largura W na figura acima, então $|H(f)|$ não deixa passar de modo “intocável” a totalidade das componentes espectrais de $T_x(t)$, alterando a magnitude e fase das componentes espectrais de $T_x(t)$ que estão fora da banda de largura W , o que gera ISI e degrada a BER na saída do *de-mapper*.

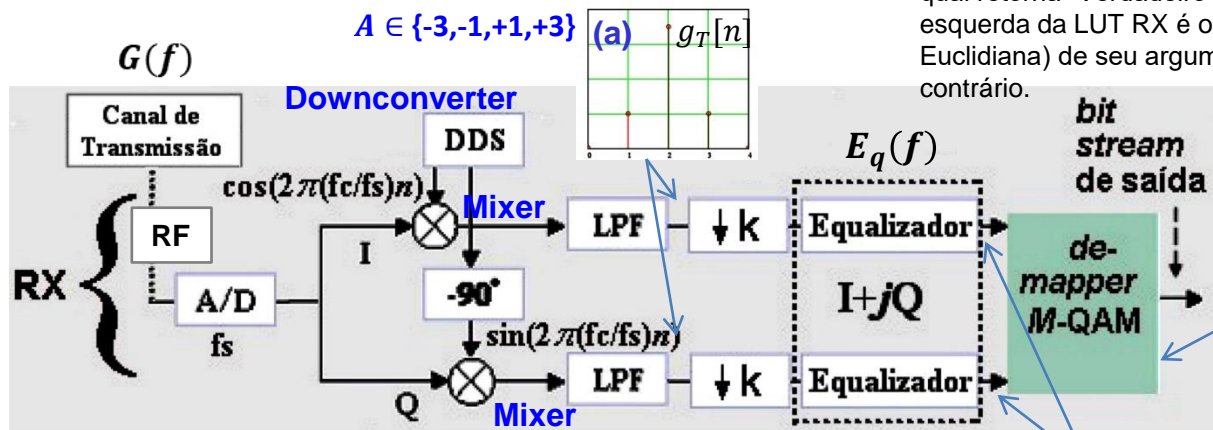
Quando o sistema opera sob um canal AWGN de largura de banda W , em que o espectro do sinal cabe em banda dentro do retângulo da curva de magnitude da resposta em frequência do canal ao longo de toda largura de banda W , conforme mostra a figura acima, considera-se que esta é a situação de operação normal para um receptor digital, i.e., o equalizador implementa com sucesso a função de transferência inversa do canal, conforme discutido no slide anterior. Nesta situação, a Capacidade do Canal é dada pelo Teorema de Shannon-Hartley, já discutido nos slides 35 a 38 de https://www.fccdecastro.com.br/pdf/SCD1_Cap1.pdf, cujo resultado final é expresso por:

$$C = W \log_2 \left(1 + \frac{S}{N} \right) = \frac{W}{\ln(2)} \ln \left(1 + \frac{S}{N} \right) \quad [\text{bps}]$$

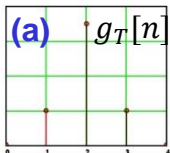
onde C é a capacidade de transmissão em [bps] do canal AWGN de largura de banda W em [Hz], S é a potência [W] do sinal medido **na entrada do RX** e P é a potência [W] do ruído do canal medido **na entrada do RX**.

Introdução

$NN\{\cdot\}$ é o operador *Nearest Neighbour* (vizinho mais próximo), o qual retorna "Verdadeiro" quando o valor de entrada na coluna esquerda da LUT RX é o vizinho mais próximo (menor distância Euclidiana) de seu argumento $\{\cdot\}$, e retorna "Falso" em caso contrário.



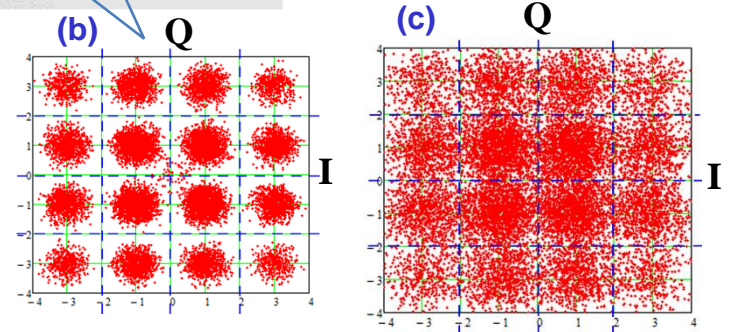
$$A \in \{-3, -1, +1, +3\}$$



(e)

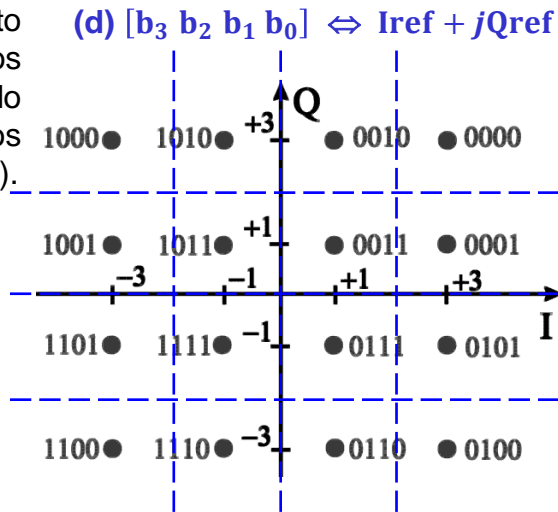
I: $[b_3 b_1]$		Q: $[b_2 b_0]$	
$NN\{+3\}$	00	$NN\{+3\}$	00
$NN\{+1\}$	01	$NN\{+1\}$	01
$NN\{-1\}$	11	$NN\{-1\}$	11
$NN\{-3\}$	10	$NN\{-3\}$	10

Caso o processo adaptativo do equalizador falhe em ajustar a função de transferência $E_q(f)$ do equalizador de modo que a mesma não consiga implementar a função de transferência $G^{-1}(f)$ do canal, então ocorrerá ISI residual (cujas origens são o *multipath* no canal) e a dispersão de símbolos em torno dos símbolos IQ de referência $I_{ref} + jQ_{ref}$ da constelação 16-QAM será significativa na entrada do *de-mapper*, conforme mostrado em (b). Uma dispersão residual de símbolos significativa também pode decorrer em consequência de uma baixa SNR no canal.

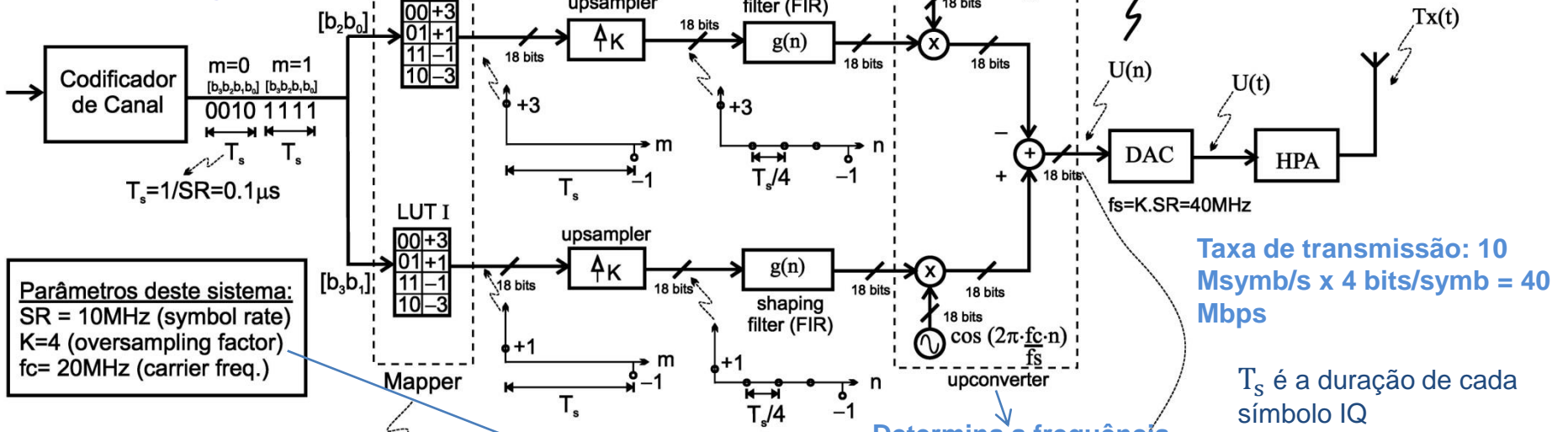


Se a causa da dispersão dos símbolos IQ na entrada do *de-mapper* for excessiva (SNR muito baixa e/ou excessiva ISI residual) as palavras binárias $[b_3 b_2 b_1 b_0]$ associadas aos respectivos símbolos IQ originalmente transmitidos serão recuperadas com erro na saída do *de-mapper* para aqueles símbolos da "nuvem" de símbolos dispersos em torno dos símbolos $I_{ref} + jQ_{ref}$ que invadirem uma das regiões de decisão adjacentes, conforme mostrado em (c).

Em consequência da dispersão excessiva referida em (c) o mapeamento $[b_3 b_2 b_1 b_0] \leftrightarrow I_{ref} + jQ_{ref}$ mostrado em (d) é feito de tal maneira que palavras binárias $[b_3 b_2 b_1 b_0]$ associadas à regiões de decisão adjacentes mantenham entre si uma distância de Hamming unitária (distância de Hamming unitária = somente um bit de diferença entre as palavras – ver https://en.wikipedia.org/wiki/Gray_code). Este mapeamento faz com que, caso a "nuvem" de símbolos dispersos em torno dos símbolos $I_{ref} + jQ_{ref}$ invada uma das regiões de decisão adjacentes, os consequentes erros de decisão do *de-mapper* seja apenas de 1 bit, o que facilita o trabalho do código corretor de erro no Decodificador de Canal.



Exemplo e detalhe do Modulador Digital (TX)



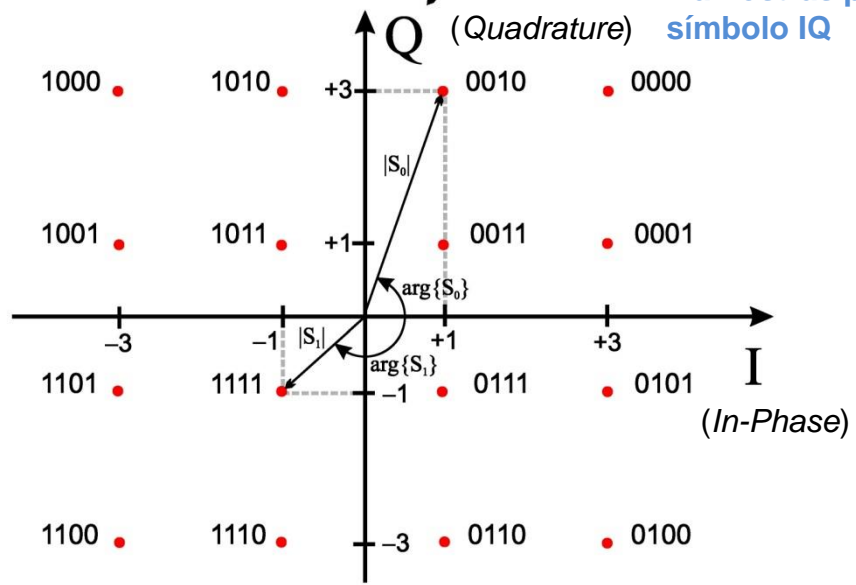
Parâmetros deste sistema:
 SR = 10MHz (symbol rate)
 K=4 (oversampling factor)
 fc= 20MHz (carrier freq.)

Taxa de transmissão: 10 Msymb/s x 4 bits/symb = 40 Mbps

T_s é a duração de cada símbolo IQ

Determina a frequência central f_c do canal

4 amostras por símbolo IQ

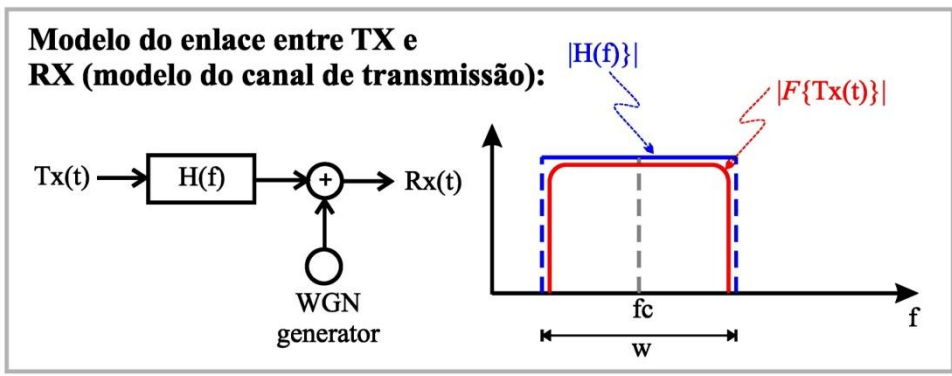


Identificação dos bits das palavras binárias: $[b_3, b_2, b_1, b_0]$

$U_m(n)$ p/ $m=0$ e $m=1$ neste exemplo:

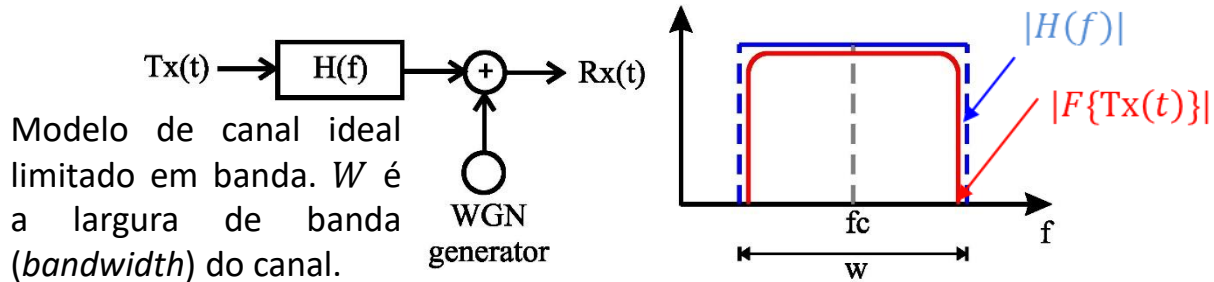
$$U_0(n) = \{\sqrt{3^2+1^2} * g(n)\} \cdot \cos(2\pi \cdot \frac{20}{40} \cdot n + \text{atan}(3/1))$$

$$U_1(n) = \{\sqrt{(-1)^2+(-1)^2} * g(n)\} \cdot \cos(2\pi \cdot \frac{20}{40} \cdot n - \text{atan}(-1/-1))$$



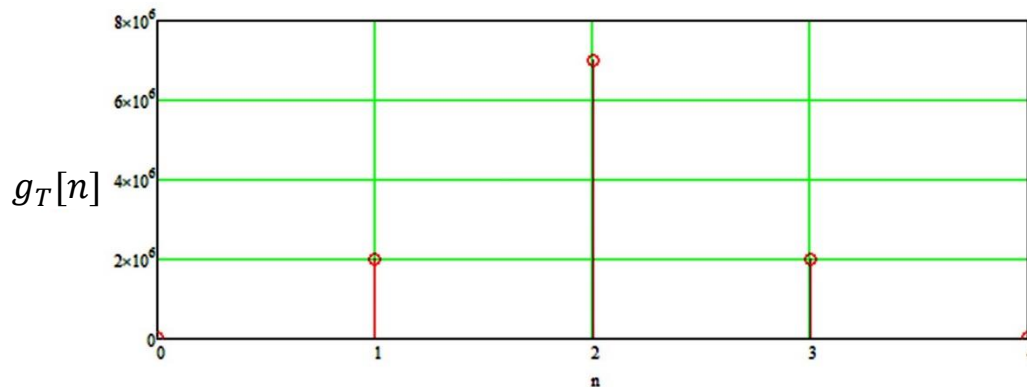
Introdução

No diagrama do modulador digital 16-QAM mostrado no slide anterior, a **contenção espectral** do sinal da onda EM que se propaga no canal de transmissão é efetuada em banda-base por dois *shaping-filters*, um para o ramo I e outro para o ramo Q. Usualmente o *shaping-filter* é um filtro digital passa-baixa FIR (*finite impulse response*). Entende-se por **contenção espectral** o procedimento de filtragem digital que condiciona a curva de magnitude $|F\{Tx(t)\}|$ do espectro do sinal $Tx(t)$ a caber em banda dentro do retângulo da curva de magnitude $|H(f)|$ ao longo de toda largura W na figura abaixo:



Conforme vimos nos slides 4 a 6 do Cap IV de UFSM00261 – SISTEMAS DE COMUNICAÇÃO DIGITAL I (ver https://www.fccdecastro.com.br/pdf/SCD1_CapIV.pdf), a contenção espectral lá estudada era obtida através de um filtro

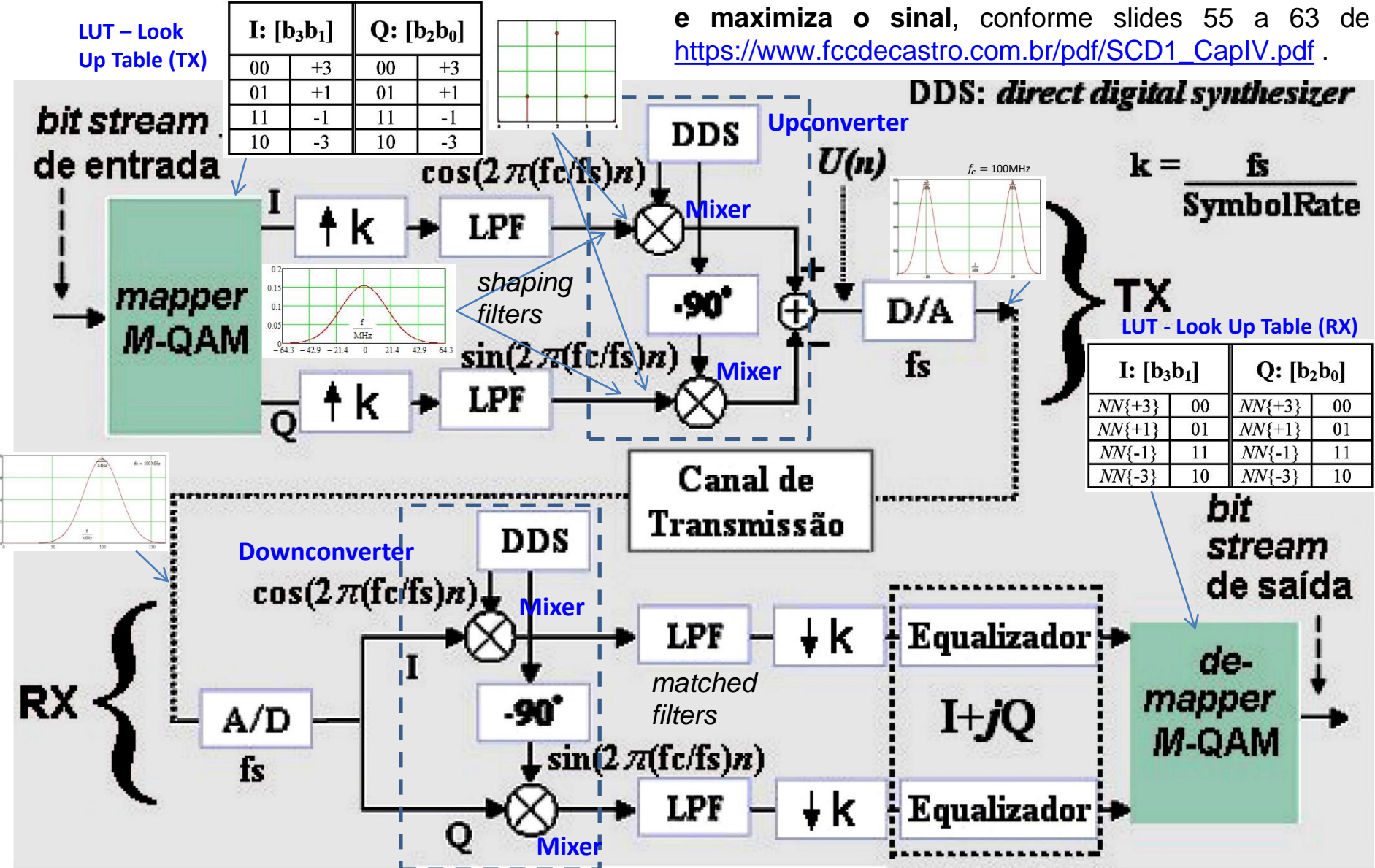
Gaussiano. Por exemplo, o gráfico abaixo mostra a resposta ao impulso $g_T[n] = K_0 e^{-\pi \left(\frac{n \frac{T}{K_S} - \frac{T}{2}}{\tau} \right)^2}$ de um *shaping filter* Gaussiano com $K_0 = 7 \times 10^6$, $\tau = 0.022 \mu s$ e $K_S = 4$ (4 amostras por símbolo IQ \Rightarrow *oversampling factor*) onde o parâmetro T é igual à duração T_s de cada símbolo IQ, sendo $T_s = 1/SR$ e SR é o **symbol rate** adotado na modulação digital (ver slide anterior).



Esta amostra pertence ao próximo símbolo IQ.

Nota: Importante notar que a **duração da resposta ao impulso discreta do filtro Gaussiano não deve ultrapassar a duração T_s de um símbolo IQ**, caso contrário será gerado ISI (interferência intersimbólica) no hardware do modulador, além da ISI gerada pelo inevitável multipercurso que sempre ocorre no canal de transmissão.

O RX adota um par (I & Q) de filtros LPF casados (*matched filters*) com o par de filtros LPF usados como *shaping filter* no TX para contenção espectral, conforme mostra o diagrama abaixo. A finalidade do *matched filter* do RX é estabelecer um **processo de correlação** entre a resposta ao impulso do *matched filter* e o sinal dos pulsos do *shaping filter* recebidos do TX através do canal de transmissão. Este processo de correlação **minimiza o ruído e maximiza o sinal**, conforme slides 55 a 63 de https://www.fccdecastro.com.br/pdf/SCD1_CapIV.pdf.



Introdução

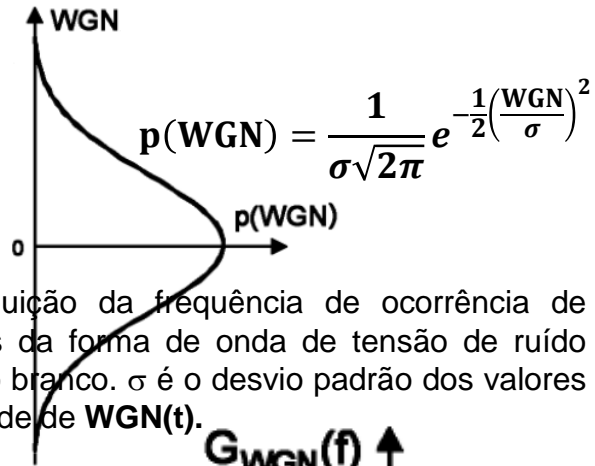
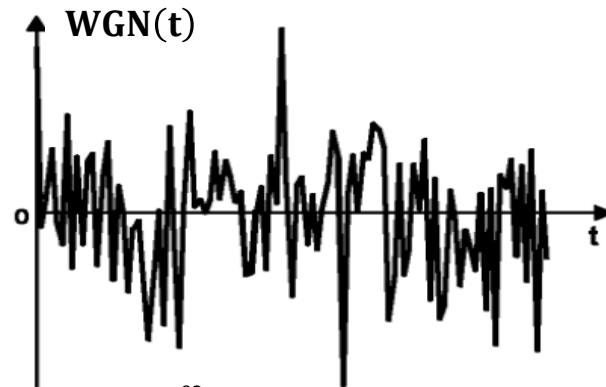
Conforme vimos no slide 15, a duração da resposta ao impulso discreta do filtro Gaussiano não deve ultrapassar a duração T_s de um símbolo IQ, caso contrário será gerado ISI (interferência intersimbólica) no hardware do modulador. Isto impõe uma limitação ao intervalo de tempo em que é efetuado o processo de correlação entre a resposta ao impulso do *matched filter* no RX e o sinal dos pulsos do *shaping filter* recebidos do TX através do canal de transmissão. Esta limitação ao intervalo de tempo em que é efetuado o processo de correlação limita a minimização do ruído e limita a maximização do sinal.

Para remover esta limitação ao intervalo de tempo em que é efetuado o processo de correlação é necessário utilizar como *shaping filter* e *matched filter* um filtro passa baixa cuja resposta ao impulso perdure mais do que a duração T_s de um símbolo IQ mas que simultaneamente não gere ISI. Conforme veremos no Cap 1.2, este filtro cuja resposta ao impulso perdura mais do que a duração T_s de um símbolo IQ mas que simultaneamente não gera ISI é denominado filtro **raised cosine**. O filtro **raised cosine** é implementado através da ação conjunta de um *shaping filter* no TX do tipo **root raised cosine** e de um *matched filter* no RX também do tipo **root raised cosine**, conforme veremos nos próximos slides.

O efeito do intervalo de integração no processo de correlação efetuado no *matched filter*

Em (a) abaixo é mostrado um sinal de ruído térmico $WGN(t)$, observado na tela de um osciloscópio digital e medido, por exemplo, nos terminais de um resistor de $10M\Omega$ aquecido na chama de uma vela. O ruído térmico é o ruído típico na entrada de qualquer RX de comunicações. O ruído térmico sempre apresenta **distribuição Gaussiana de amplitudes**, c/ média zero, e se comporta de maneira tal que valores positivos e negativos de pequena amplitude ocorrem frequentemente ao longo do tempo. Picos de amplitude maior ocorrem raramente, conforme mostrado em (b) abaixo, no histograma da frequência de ocorrência (probabilidade de ocorrência $p(WGN)$) dos valores de amplitude do sinal $WGN(t)$. Um sinal conforme mostrado em (a) é dito ser **descorrelacionado** (i.e., a função de auto-correlação do sinal é um impulso), significando que o sinal é interferido somente por ele mesmo e por mais nenhum outro sinal. Em (c) é mostrado a função de autocorrelação $R_{WGN}(\tau)$ do sinal $WGN(t)$, e que resulta em um impulso $\delta(t)$. Em (d) é mostrado a densidade espectral de potência $G_{WGN}(f)$ do sinal $WGN(t)$, notando que ela resulta em um valor constante $N_0/2$ no domínio frequência f , indicando que $WGN(t)$ é um ruído branco. Branco no sentido da cor da luz solar cujo espectro também apresenta densidade espectral constante indicando que a luz solar é formada por componentes espectrais de todas as frequências (i.e., cores) do espectro da luz visível.

(a) Forma de onda de tensão $WGN(t)$ de um ruído Gaussiano branco gravada na memória de um osciloscópio digital e mostrada na sua tela,



(b) Distribuição da frequência de ocorrência de amplitudes da forma de onda de tensão de ruído Gaussiano branco. σ é o desvio padrão dos valores de amplitude de $WGN(t)$.



$$R_{WGN}(\tau) = \int_{-\infty}^{\infty} WGN(t)WGN(t + \tau) dt$$



(d) Densidade espectral de potência $G_{WGN}(f)$ da forma de onda de tensão de ruído Gaussiano branco, obtida de $G_{WGN}(f) = \mathcal{F}\{R_{WGN}(\tau)\}$, onde $\mathcal{F}\{\cdot\}$, é o operador Transformada de Fourier.



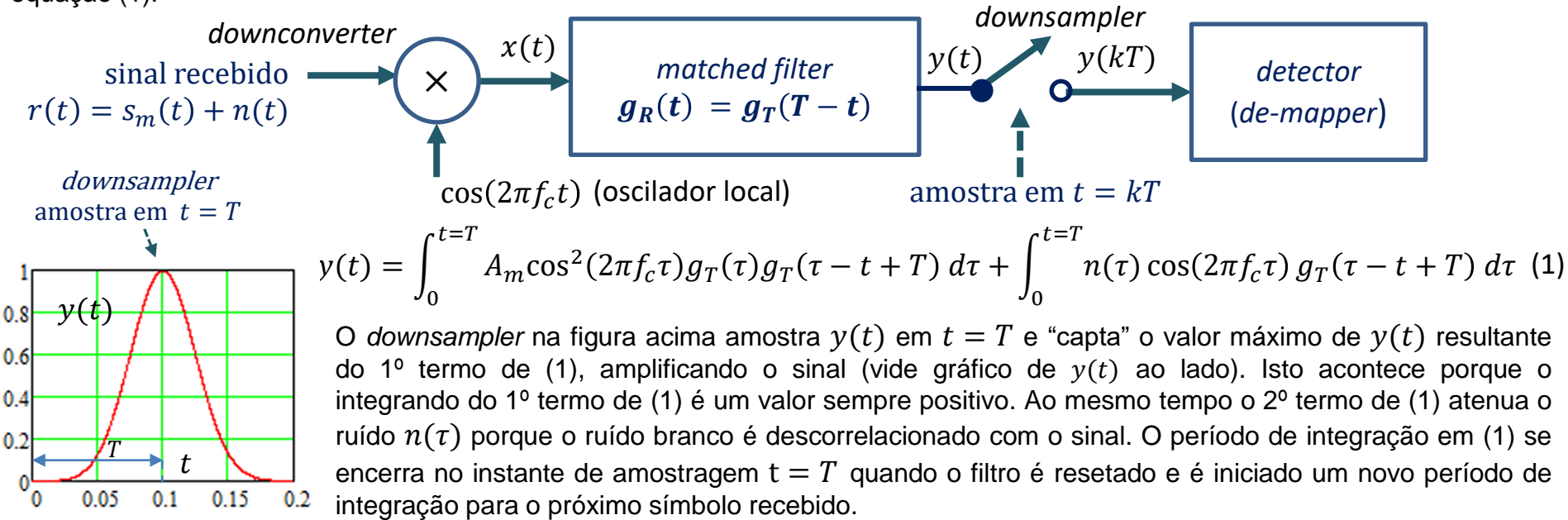
(c) Autocorrelação $R_{WGN}(\tau)$ da forma de onda de tensão de ruído Gaussiano branco $WGN(t)$.

Nota: "f(t) é correlacionada c/ g(t)" \Rightarrow "f(t) é semelhante a g(t) nos instantes de tempo em que a função de correlação entre f(t) e g(t) exibir picos máximos". Correlação é semelhante à convolução (Sinais e Sistemas), apenas a 2ª função não é invertida no tempo.

O efeito do intervalo de integração no processo de correlação efetuado no *matched filter*

Dado que as amplitudes de ruído ao longo do tempo se comportam de maneira tal que valores positivos e negativos de menor amplitude ocorrem frequentemente no transcorrer do tempo enquanto valores de maior amplitude ocorrem com menor frequência, conforme mostra a distribuição Gaussiana de amplitudes em (b) no slide anterior, então qualquer processo que efetue a média no tempo no qual os valores de ruído sejam somados ao longo de um intervalo de tempo T resultará ao final do processo um valor de ruído tanto menor quanto maior for o intervalo T em que a soma intrínseca ao processo de média for efetuada.

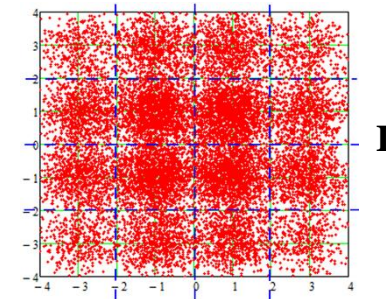
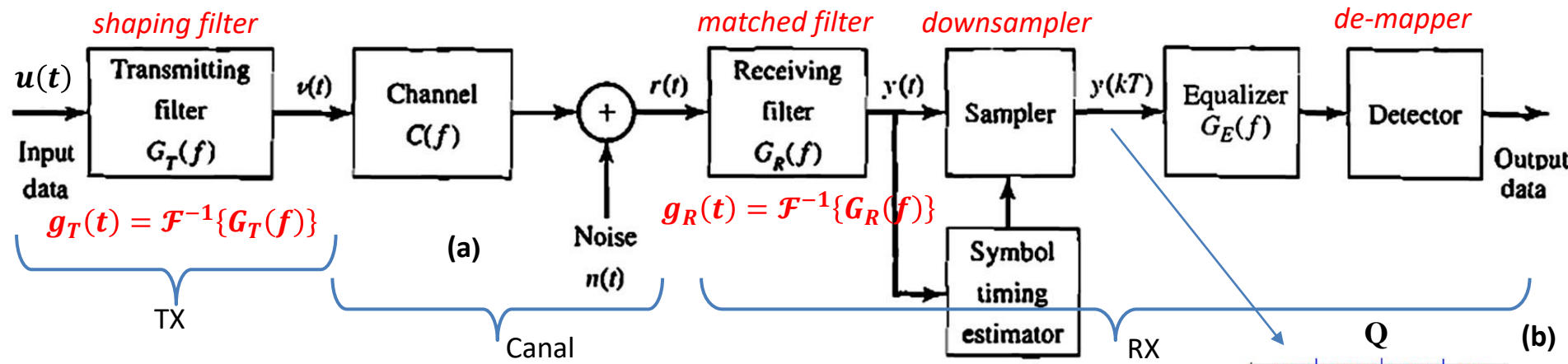
Conforme veremos a seguir, isto impacta diretamente na saída $y(t)$ do *matched filter* – equação (4) no slide 59 do Cap IV de UFSM00261 – SISTEMAS DE COMUNICAÇÃO DIGITAL I (ver https://www.fccdecastro.com.br/pdf/SCD1_CapIV.pdf) – abaixo reproduzida na equação (1).



Note que o intervalo de integração T impacta no resultado de (1) em consequência do processo de soma no tempo do ruído $n(\tau)$ implementado pelo 2º termo de (1), porque o resultado da soma (resultado da integral) efetuada no 2º termo de (1) será um valor tanto menor quanto maior for o intervalo T . Isto ocorre porque $\cos(2\pi f_c \tau) g_T(\tau - t + T)$ é descorrelacionado com $n(\tau)$ e atua como se fosse uma constante no integrando da integral do 2º termo de (1), e portanto, ao longo do intervalo T a integral somará então mais valores de $n(\tau)$ positivos e negativos de menor amplitude que ocorrem mais frequentemente no transcorrer do tempo do que valores de $n(\tau)$ de maior amplitude que ocorrem menos frequentemente, atenuando assim o ruído. E este efeito é realçado a medida que T aumenta.

O filtro *root-raised-cosine* como *shaping filter* & *matched filter*

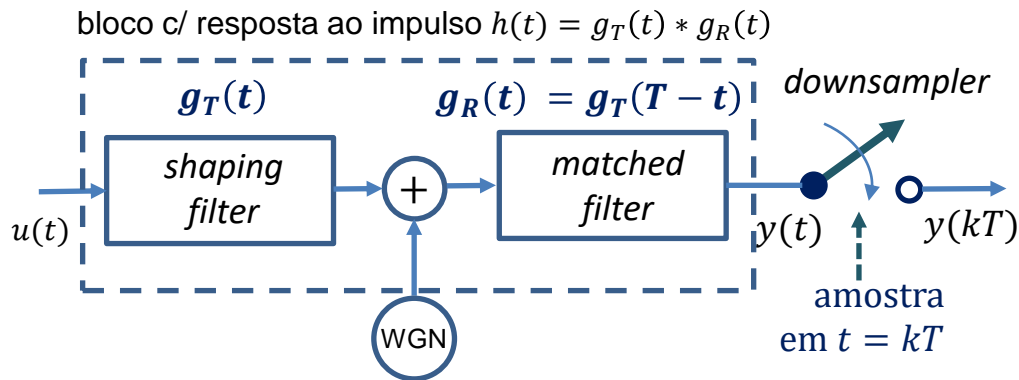
De acordo com a discussão no slide anterior, o ruído branco será mais atenuado na saída $y(t)$ do *matched filter* se aumentarmos o intervalo de integração da equação (1) para além do período de símbolo T . No entanto, isto faria ocorrer a superposição dos pulsos $g_T(t) * g_R(t)$ na saída $y(t)$ do *matched filter* e isto faria ocorrer ISI (*Inter Symbol Interference*) no instante de amostragem $t = T$, causando um efeito similar ao *multipath* no canal, conforme já discutido no slide 15 do Cap I.1. A ISI causa então dispersão de símbolos em torno dos símbolos IQ de referência da constelação na saída $y(kT)$ do *downsampler*, conforme mostrado em (b) abaixo. Se a dispersão for significativa, de modo que símbolos da “nuvem” de símbolos dispersos em torno dos símbolos de referência invadam uma das regiões de decisão adjacentes, a BER (*Bit Error Rate*) não será nula na saída do *de-mapper*.



Para uma maior atenuação do ruído branco na saída $y(t) = u(t) * g_T(t) * g_R(t)$ do *matched filter* é necessário, portanto, um *shaping filter* e um *matched filter* com respostas ao impulso $g_T(t)$ e $g_R(t)$ de duração maior que o período de símbolo T mas que simultaneamente evite a superposição dos pulsos $h(t) = g_T(t) * g_R(t)$ na saída $y(kT)$ do *downsampler*, de modo a evitar a ocorrência de ISI (*Inter Symbol Interference*) no instante de amostragem $t = T$.

O filtro *root-raised-cosine* como *shaping filter* & *matched filter*

Uma resposta ao impulso combinada $h(t) = g_T(t) * g_R(t)$ que atende a condição de ter uma duração maior que o período de símbolo T mas que simultaneamente evita a superposição dos pulsos na saída $y(kT)$ do *downsampler* no instante de amostragem $t = T$ é a resposta ao impulso do filtro denominado ***raised-cosine***, conforme equação (2) abaixo, denominação que resulta de sua função de transferência $H(f) = \mathcal{F}\{h(t)\}$ ser definida por um cosseno adicionado de um valor constante e unitário no domínio frequência que eleva os valores do cosseno, conforme equação (3) (ver https://en.wikipedia.org/wiki/Raised-cosine_filter):



$$h(t) = \frac{\sin \pi t / T}{\pi t / T} \frac{\cos(\pi \alpha t / T)}{1 - 4\alpha^2 t^2 / T^2}$$

$$= \text{sinc}(\pi t / T) \frac{\cos(\pi \alpha t / T)}{1 - 4\alpha^2 t^2 / T^2} \quad (2)$$

A Transformada de Fourier da resposta ao impulso $h(t)$ resulta na função de transferência $H(f) = \mathcal{F}\{h(t)\}$:

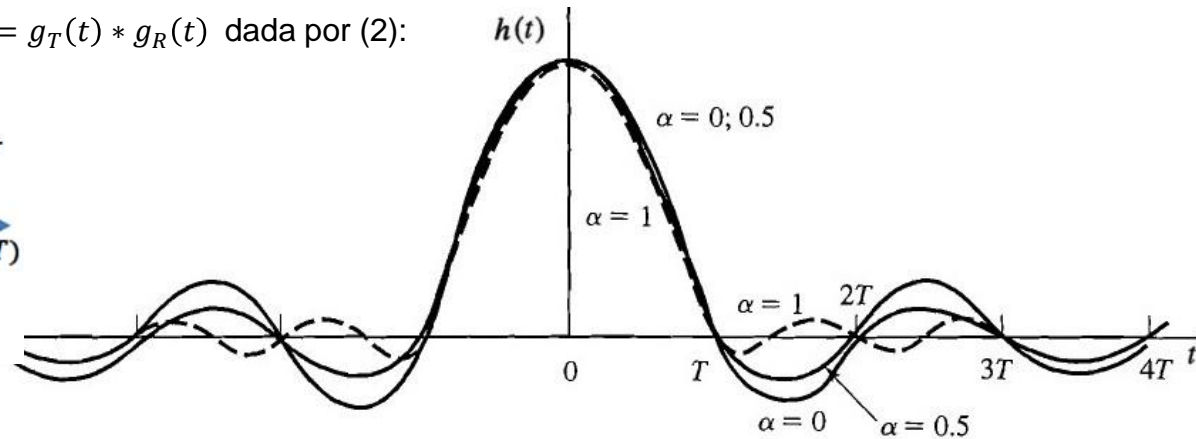
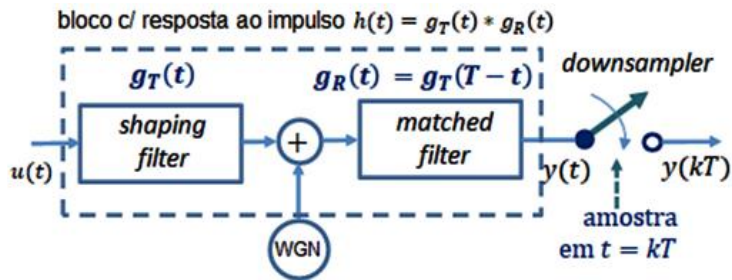
valor constante e unitário que eleva os valores do cosseno – daí a denominação *raised cosine*

$$H(f) = \begin{cases} T, & 0 \leq |f| \leq (1 - \alpha) / 2T \\ \frac{T}{2} \left[1 + \cos \frac{\pi T}{\alpha} \left(|f| - \frac{1 - \alpha}{2T} \right) \right], & \frac{1 - \alpha}{2T} \leq |f| \leq \frac{1 + \alpha}{2T} \\ 0, & |f| > \frac{1 + \alpha}{2T} \end{cases} \quad (3)$$

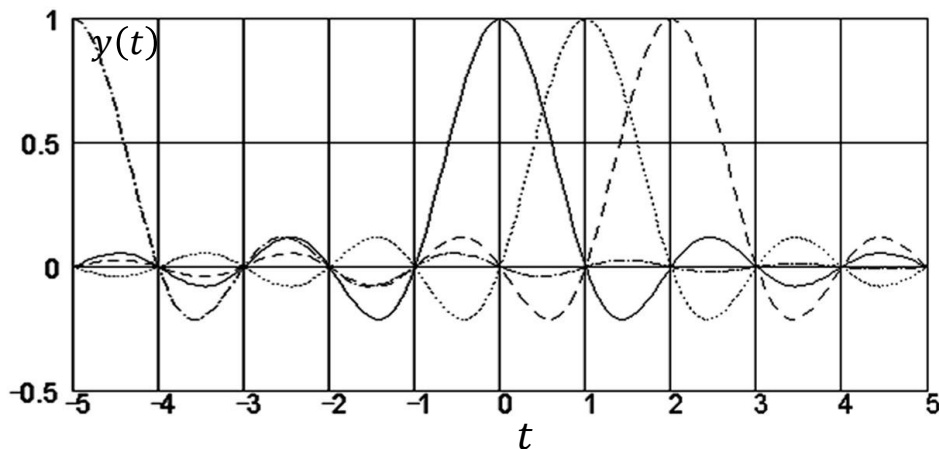
sendo $0 \leq \alpha \leq 1$ o *roll-off* do filtro, que é o parâmetro que controla a declividade da curva $|H(f)|$ na banda de transição, que é a banda situada entre a banda de passagem e a banda de rejeição do filtro *raised cosine* no domínio frequência f . Quanto menor for α mais abrupta é a declividade da curva $|H(f)|$ da banda de transição e mais longa é a duração de $h(t)$.

O filtro root-raised-cosine como shaping filter & matched filter

Plotando a resposta ao impulso combinada $h(t) = g_T(t) * g_R(t)$ dada por (2):



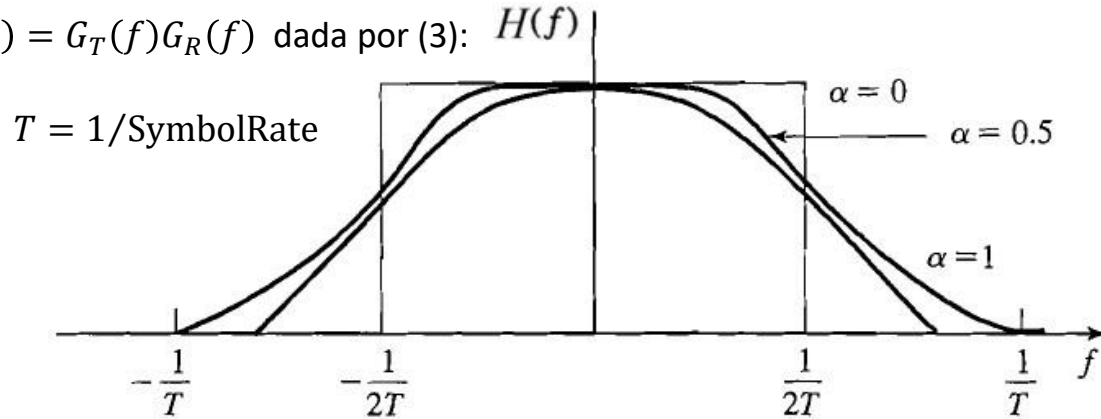
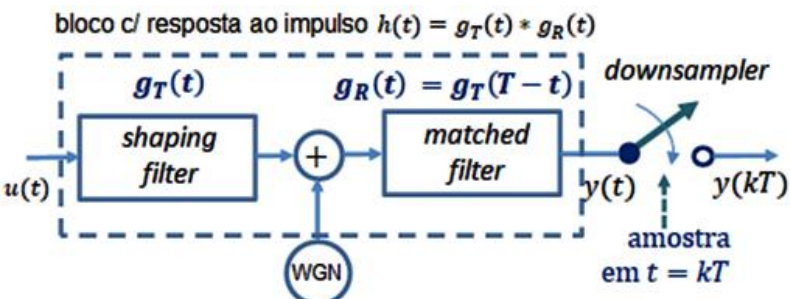
Note no gráfico acima que a resposta ao impulso combinada $h(t) = g_T(t) * g_R(t)$ dada por (2) tem uma duração de vários períodos de símbolo T , o que é desejado para efeito de aumentar o intervalo em que a correlação é efetuada, minimizando o ruído branco, conforme discutido no slide 20. Note também que $h(t)$ cruza por zero a cada $t = kT$, com k inteiro. **Na prática, adota-se uma duração total para $h(t)$ tal que a curva de $h(t)$ contemple pelo menos 12 cruzamentos por zero ao longo do eixo do tempo t .** Note também que o comportamento da curva de $h(t)$ cruzar por zero a cada $t = kT$ é o motivo de não haver ISI gerada no instante de amostragem $t = kT$ do downsampler. Por exemplo, se aplicarmos na entrada $u(t)$ do shaping filter a sequência de impulsos $u(t) = \delta(t + 5T) + \delta(t) + \delta(t - T) + \delta(t - 2T)$ a resposta na saída $y(t)$ será conforme o gráfico abaixo.



Observe no gráfico que a resposta $y(t)$ aos 4 impulsos é tal que as respectivas 4 respostas se superpõe ao longo do tempo t , gerando ISI em todos estes instantes em que ocorre superposição. No entanto, **em todos os instantes de amostragem $t = kT$ do downsampler a amplitude instantânea de todas as respostas são nulas exceto a amplitude da resposta respectiva ao impulso aplicado naquele instante kT .** Portanto a saída $y(kT)$ do downsampler não será corrompida por ISI.

O filtro root-raised-cosine como shaping filter & matched filter

Plotando a resposta em frequência combinada $H(f) = G_T(f)G_R(f)$ dada por (3):



$$G_R(f) = \mathcal{F}\{g_R(t)\} \quad G_T(f) = \mathcal{F}\{g_T(t)\}$$

Note no gráfico de $H(f)$ que o pulso *raised cosine* $h(t)$ dado por (2) ocupa uma banda espectral $BW_{RC} = 0.5 \text{ SymbolRate} (1 + \alpha)$ para um canal de transmissão *baseband* e ocupa o dobro desta banda espectral para um canal *passband*. Note também que $BW_{RC} = 0.5 \text{ SymbolRate} (1 + \alpha)$ resulta aproximadamente $\sqrt{2}$ vezes maior que a banda passante -3dB da $H(f)$ do filtro *raised cosine*, mas que, pela simplicidade e praticidade da equação, acaba sendo utilizada como uma primeira aproximação.

Para todas as aplicações práticas do mundo real $g_T(t)$ é um pulso simétrico, de modo que $g_R(t) = g_T(T - t) = g_T(t)$ (ver exemplo no slide 60 de https://www.fccdecastro.com.br/pdf/SCD1_CapIV.pdf). Desta maneira $G_R(f) = G_T(f)$ e a função de transferência do filtro *raised cosine* é dada por $H(f) = G_T(f)G_T(f)$. Isto permite determinar a função de transferência $G_T(f)$ do *shaping filter* no TX e do *matched filter* no RX:

$$\sqrt{G_T(f)G_T(f)} = G_T(f) = \sqrt{H(f)} \quad (4)$$

Substituindo (3) em (4) obtemos a função de transferência $G_{RRC}(f)$ individual dos dois **filtros root-raised-cosine (raiz do cosseno levantado) que operam respectivamente como shaping filter no TX e como matched filter no RX** (ver https://en.wikipedia.org/wiki/Root-raised-cosine_filter):

$$G_{RRC}(f) = \sqrt{H(f)} = \begin{cases} \sqrt{T}, & 0 \leq |f| \leq (1 - \alpha)/2T \\ \sqrt{\frac{T}{2} [1 + \cos \frac{\pi T}{\alpha} (|f| - \frac{1-\alpha}{2T})]}, & \frac{1-\alpha}{2T} \leq |f| \leq \frac{1+\alpha}{2T} \\ 0, & |f| > \frac{1+\alpha}{2T} \end{cases} \quad (5)$$

O filtro *root-raised-cosine* como *shaping filter* & *matched filter*

Aplicando a Transformada de Fourier Inversa em (5) obtemos a resposta ao impulso $g_{\text{RRC}}(t) = \mathcal{F}^{-1}\{G_{\text{RRC}}(f)\}$ individual dos dois filtros *root-raised-cosine* (raiz do cosseno levantado) que operam respectivamente como *shaping filter* no TX e como *matched filter* no RX:

$$g_{\text{RRC}}(t) = \frac{2\alpha}{\pi\sqrt{T}} \frac{\cos[(1+\alpha)\pi t/T] + \frac{\sin[(1-\alpha)\pi t/T]}{4\alpha t/T}}{1 - (4\alpha t/T)^2} \quad (6)$$

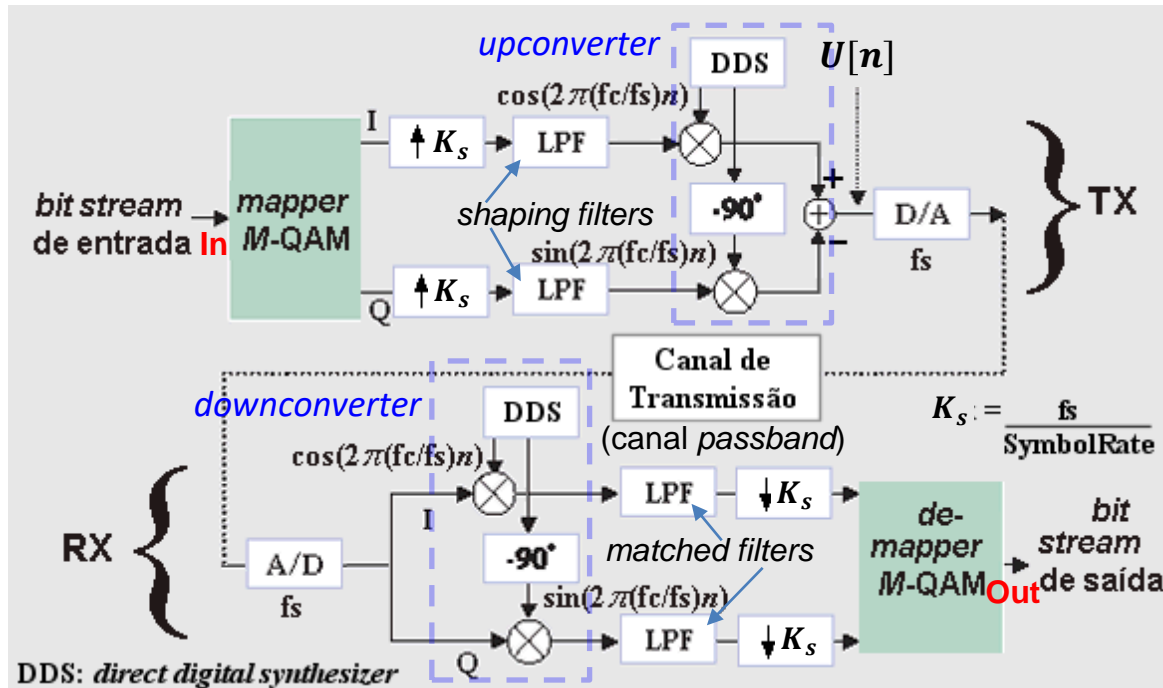
A versão discreta de (6), utilizada para gerar a resposta ao impulso $g_{\text{RRC}}[n]$ de um filtro FIR *root raised cosine* com *roll-off* α e N coeficientes (lembre da disciplina de DSP: Os coeficientes de um filtro FIR representam a própria resposta ao impulso do filtro), é obtida fazendo $t = n \frac{T}{K_s}$ em (6) (ver slides 16 e 17 de https://www.fccdecastro.com.br/pdf/SCD1_Cap1.pdf). Adicionalmente é necessário atrasar a resposta discreta de $(N-1)/2$ amostras para torná-la uma resposta causal realizável, sendo $n = 0, 1, \dots, N-1$ e sendo K_s o *oversampling factor* do *upsampler* no modulador (número de amostras por símbolo IQ), resultando em:

$$g_{\text{RRC}}[n] = \frac{4\alpha}{\pi \cdot K_s} \cdot \frac{\left[\cos\left[\frac{n - \frac{N-1}{2}}{K_s} \cdot \pi \cdot (1+\alpha) \right] + \frac{\pi \cdot (1-\alpha)}{4\alpha} \cdot \text{sinc}\left[\frac{n - \frac{N-1}{2}}{K_s} \cdot \pi \cdot (1-\alpha) \right] \right]}{1 - \left(\frac{n - \frac{N-1}{2}}{K_s} \cdot 4\alpha \right)^2} \quad (7)$$

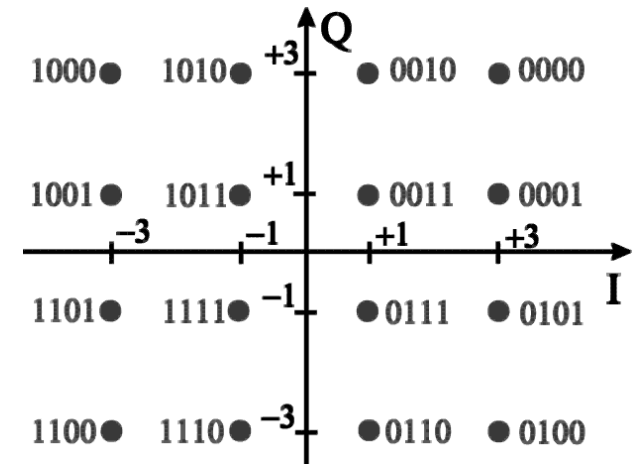
onde $\text{sinc}(u) = \sin(u)/u$

O filtro *root-raised-cosine* como *shaping filter* & *matched filter*

Exemplo 1: O diagrama abaixo mostra a etapa de modulação/demodulação de um sistema 16-QAM com frequência central do canal de transmissão dada por f_c [MHz].



(a) Diagrama de blocos de um sistema M-QAM, $M=16$.



(b) Constelação gerada no *mapper* M-QAM.

Figura 1: Etapa de modulação de um sistema de comunicação digital 16-QAM.

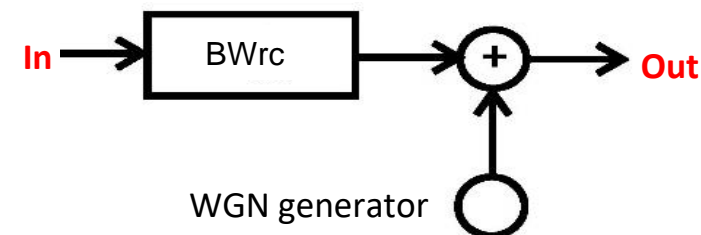
Cada símbolo IQ tem uma duração $T = 1/\text{symbol rate}$, onde $\text{symbol rate} = 16$ MHz para este sistema. Os blocos “LPF” na Figura 1(a) representam o *shaping filter* do TX e o *matched filter* do RX, e são filtros FIR tipo *root raised cosine* (RRC) cuja resposta ao impulso $g_{\text{RRC}}[n]$ é dada pela equação (7) do slide 24 com os seguintes parâmetros: O filtro FIR é implementado com $N = 128$ coeficientes, *roll-off* $\alpha = 0.115$ e fator de super amostragem (número de amostras por símbolo IQ) $K_s = 8$.

O filtro *root-raised-cosine* como *shaping filter* & *matched filter*

Pede-se:

- Determine a frequência de amostragem f_s [MHz] do D/A.
- Plote a resposta ao impulso $g_{RRC}[n]$ do filtro RRC (*root raised cosine*) usado como *shaping filter* no TX e como *matched filter* no RX.
- Salve as $N = 128$ amostras de $g_{RRC}[n]$ em um vetor $VRRC[n]$ e grave as amostras armazenadas no vetor em um arquivo texto denominado "grrc.txt". Abra "grrc.txt" com o aplicativo Bloco de Notas (notepad.exe) compare com o gráfico de $g_{RRC}[n]$ e verifique a consistência numérica dos valores (número de amostras salvas no arquivo, índice da amostra do valor máximo, valor máximo, valores mínimos, etc ...).
- Determine a banda passante BW_{ch} (-3dB) mínima necessária no bloco "Canal de Transmissão" da Figura 1(a) (canal *passband*) $p/$ que o mesmo não distorça o espectro do sinal $U[n]$ com frequência central f_c gerado na saída do TX.
- Considere que a entrada **In** do *mapper* e a saída **Out** do *demapper* no diagrama de blocos da Figura 1(a) no *slide* anterior correspondem respectivamente à entrada e à saída de um canal de transmissão *baseband*, conforme mostra a figura abaixo. Quando não há *multipercorso*, a banda passante BW_{rc} deste canal *baseband* é determinada pelo filtro *raised-cosine* (RC) formado pelo filtro RRC do *shaping filter* no TX em série com o filtro RRC do *matched filter* no RX.

Suponha que o ruído gaussiano aditivo com $\text{SNR} = 30\text{dB}$ no canal de transmissão *passband* seja aplicado na saída deste canal de transmissão *baseband* conforme representado pelo "WGN generator" na figura abaixo (o que constitui uma suposição do pior caso, porque desconsidera a minimização do ruído efetuada pelo *matched filter* do RX). Considerando a referida suposição, determine a capacidade de canal C_{bb} [Mbps] deste canal de transmissão *baseband* (ver slide 36 de https://www.fccdecastro.com.br/pdf/SCD1_Cap1.pdf) para a situação em que não há *multipercorso*. Compare com a capacidade de canal C_{pb} [Mbps] do canal *passband* cuja banda passante BW_{ch} foi determinada em (d). Os referidos canais *baseband* e *passband* operam acima ou abaixo de suas respectivas capacidades de canal? Justifique analiticamente sua resposta.



Dica: Para determinar a resposta ao impulso $g_{RC}[n]$ do filtro *raised-cosine* (RC) formado pelo filtro RRC do *shaping filter* no TX em série com o filtro RRC do *matched filter* no RX, efetue $g_{RC}[n] = g_{RRC}[n] * g_{RRC}[n]$. Para efetuar a convolução $g_{RRC}[n] * g_{RRC}[n]$ utilize o pseudocódigo no slide 55 do Apêndice C no Cap I.5.

O filtro *root-raised-cosine* como *shaping filter* & *matched filter*

Solução:

Para a solução deste exemplo vamos usar o *script* Mathcad Exemplo1.xmcd disponível em https://www.fccdecastro.com.br/ZIP/SCD2_C1_E1S25.zip.

Do enunciado, um sistema TX-RX digital 16-QAM utiliza um filtro *root raised cosine* (RRC) como *shaping filter* no TX e como *matched filter* no RX conforme especificado abaixo:

$N := 128$ $\alpha := 0.115$ \rightarrow N é o número de coeficientes do filtro RRC e α é o *roll-off* do filtro.

SymbolRate := 16·MHz $T := \frac{1}{\text{SymbolRate}} = 0.063 \cdot \mu\text{s}$ \rightarrow T= Duração de cada símbolo IQ

$K_s := 8$ \rightarrow Fator de superamostragem (= número de amostras por intervalo de duração T de cada símbolo IQ).

SNR := 30 dB \rightarrow Relação sinal-ruído no canal de transmissão.

Solução:

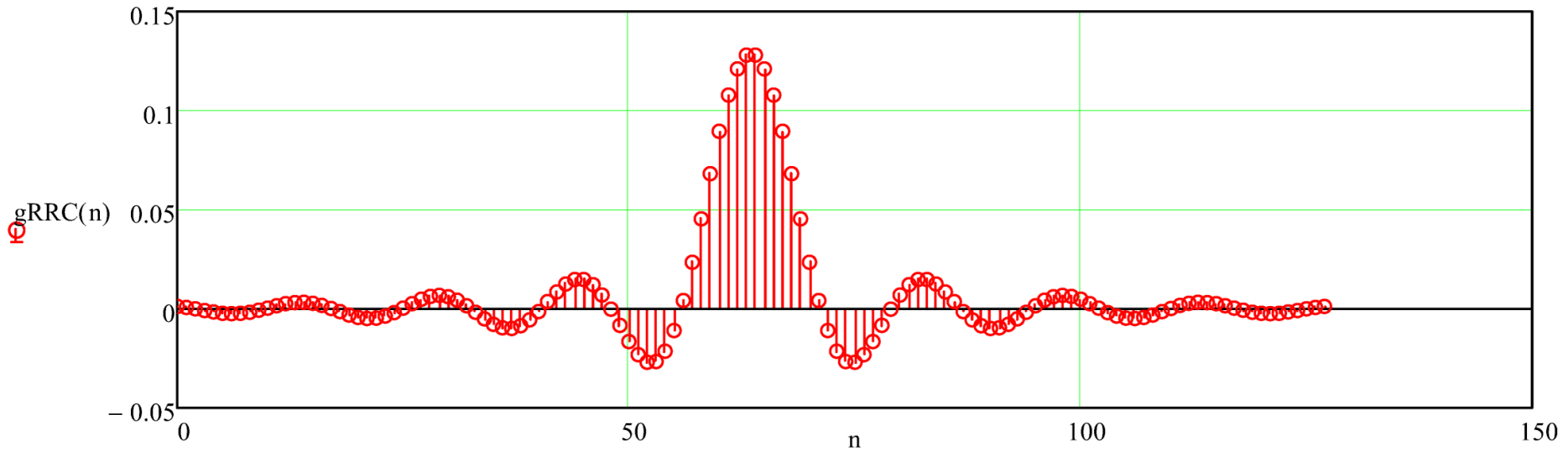
(a) $f_s := K_s \cdot \text{SymbolRate} = 128 \cdot \text{MHz}$ \rightarrow Frequência de amostragem do D/A no TX e/ou A/D no RX.

(b) A expressão analítica da resposta ao impulso $g_{\text{RRC}}[n]$ de um filtro RRC discreto no tempo é dada pela equação (7) do slide 24 do Cap 1.2:

$$g_{\text{RRC}}(n) := \frac{4 \cdot \alpha}{\pi \cdot K_s} \cdot \frac{\cos \left[\frac{n - \frac{N-1}{2}}{K_s} \cdot \pi \cdot (1 + \alpha) \right] + \frac{\pi \cdot (1 - \alpha)}{4 \cdot \alpha} \cdot \text{sinc} \left[\frac{n - \frac{N-1}{2}}{K_s} \cdot \pi \cdot (1 - \alpha) \right]}{1 - \left(\frac{n - \frac{N-1}{2}}{K_s} \cdot 4 \cdot \alpha \right)^2} \quad n := 0, 1 .. N - 1$$

O filtro *root-raised-cosine* como *shaping filter* & *matched filter*

Plotando o pulso *root raised cosine* correspondente à resposta ao impulso $gRRC[n]$ do filtro RRC especificado no enunciado:



Note que a amplitude do pulso na saída do filtro RRC é dada pela amplitude do símbolo I (e/ou Q) que ele representa.

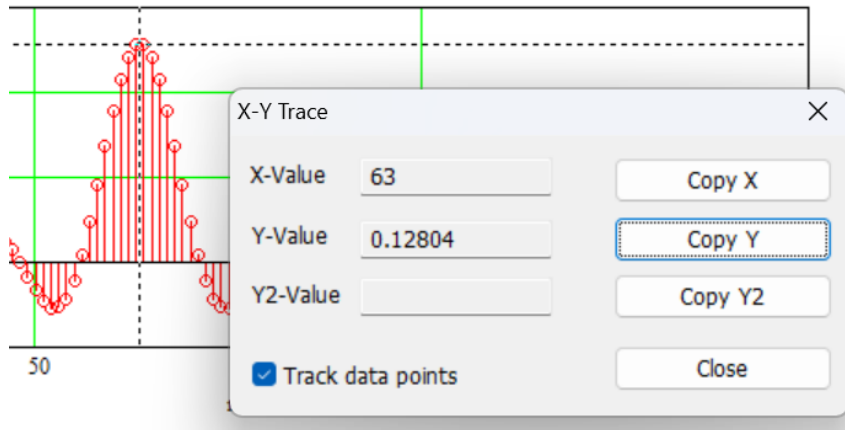
(c) Registrando em um vetor $VVRC[n]$ os valores numéricos de $gRRC[n]$ e salvando o vetor no arquivo "grrc.txt":

```
VVRC_n := gRRC(n)
```

```
WRITEPRN("grrc.txt" ) := VVRC
```


O filtro root-raised-cosine como shaping filter & matched filter

Verificando a consistência numérica dos valores salvos no arquivo grcc.txt:



	0.001355	-0.00848	-0.02304	0.003262
	0.0008311	-0.005496	-0.01641	0.002645
n=0	9.417e-005	-0.001227	-0.008287	0.00165
	-0.0007382	0.00374	-4.567e-005	0.0004724
	-0.001519	0.008637	0.007099	-0.0006764
	-0.002098	0.01262	0.01224	-0.001608
	-0.002346	0.0149	0.01487	-0.002186
	-0.002186	0.01487	0.0149	-0.002346
	-0.001608	0.01224	0.01262	-0.002098
	-0.0006764	0.007099	0.008637	-0.001519
	0.0004724	-4.567e-005	0.00374	-0.0007382
	0.00165	-0.008287	-0.001227	9.417e-005
	0.002645	-0.01641	-0.005496	0.0008311
	0.003262	-0.02304	-0.00848	0.001355
	0.003352	-0.02679	-0.009845	
	0.00285	-0.02649	-0.009535	
	0.00179	-0.02131	-0.007757	
	0.0003087	-0.01094	-0.004925	
	-0.00137	0.004327	-0.001577	
	-0.002966	0.02361	0.001715	
	-0.004189	0.0455	0.004439	
	-0.00479	0.06818	0.006217	
	-0.004603	0.08962	0.006853	
	-0.00359	0.1078	0.006344	
	-0.001851	0.1211	0.004872	
	0.0003775	0.128	0.002752	
	0.002752	0.128	0.0003775	
	0.004872	0.1211	-0.001851	
	0.006344	0.1078	-0.00359	
	0.006853	0.08962	-0.004603	
	0.006217	0.06818	-0.00479	
	0.004439	0.0455	-0.004189	
	0.001715	0.02361	-0.002966	
	-0.001577	0.004327	-0.00137	
	-0.004925	-0.01094	0.0003087	
	-0.007757	-0.02131	0.00179	
	-0.009535	-0.02649	0.00285	
	-0.009845	-0.02679	0.003352	

O filtro *root-raised-cosine* como *shaping filter* & *matched filter*

(d) A banda passante *passband* mínima necessária no bloco "Canal de Transmissão" p/ que o mesmo não altere o espectro do sinal $U[n]$ equivale à banda passante mínima BW_{ch} necessária no "Canal de Transmissão" p/ que o mesmo não altere o espectro dos pulsos *root raised cosine* que constituem o *stream* de símbolos IQ gerados na saída $U[n]$ do TX.

BW_{ch} é determinada a partir da banda passante *baseband* BW_{bb} obtida da curva de resposta em frequência $H(e^{j\theta})$ do *shaping filter* RRC no TX, sendo a faixa de variação permissível da frequência digital θ situada no intervalo $0 < \theta < \pi$, e que é correspondente no domínio frequência f analógica ao intervalo $0 < f < f_s/2$ (conforme disciplina de Sinais e Sistemas - ver slides 51 a 63 de

http://www.fcdecastro.com.br/pdf/SS_aula23a26_25062020.pdf). Para obtermos o $H(e^{j\theta})$ do filtro RRC é necessário aplicar a Transformada Z à resposta ao impulso do filtro RRC e fazer $z=e^{j\theta}$.

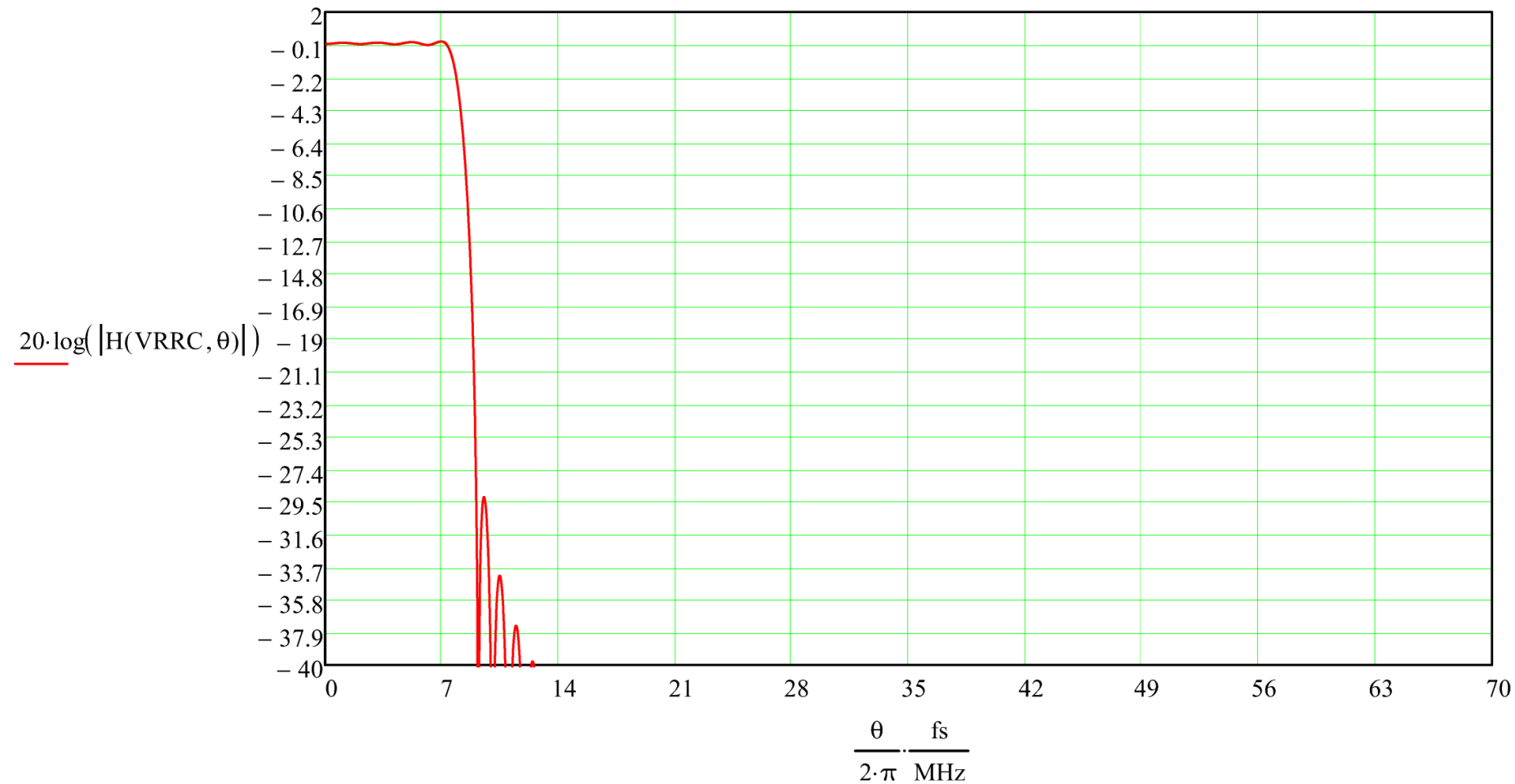
A Transformada Z para $z=e^{j\theta}$ de uma sequência discreta $h[n]$ com $\text{length}(h)$ amostras é dada pela equação (1):

$$\underline{H}(h, \theta) := \sum_{n=0}^{\text{length}(h)-1} \left[h_n \cdot (e^{j \cdot \theta})^{-n} \right] \quad \theta := 0, \frac{\pi}{10000} .. \pi \quad (1)$$

O filtro *root-raised-cosine* como *shaping filter* & *matched filter*

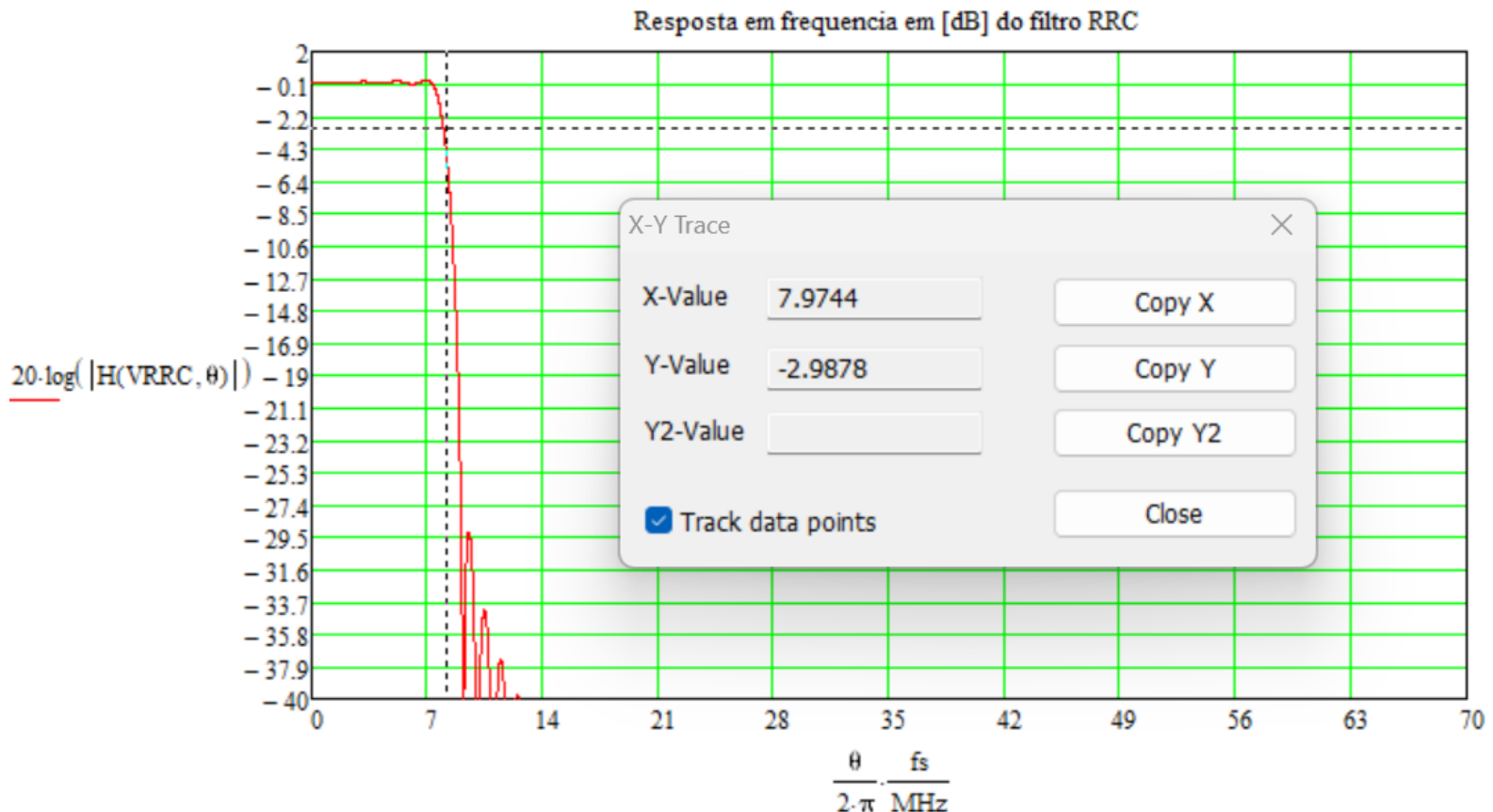
Aplicando a equação (1) ao vetor VRRC obtido em (c), determinando o módulo e convertendo para dB obtemos a curva de resposta em frequência $H(e^{j\theta})$ do *shaping filter* RRC no TX:

Resposta em frequência em [dB] do filtro RRC



O filtro *root-raised-cosine* como *shaping filter* & *matched filter*

Utilizando a função **trace** (*right-click* no gráfico acima → *left-click* em **trace** → *left-click* no gráfico acima → posicionar *c/* o mouse ou *c/* as setas horizontais do teclado o cruzamento das retas tracejadas em Y-Value = -2.99 dB → ler o valor de X-Value = 7.97 MHz) obtemos $BW_{bb} := 7.97\text{MHz}$. Note que esta $BW_{bb} = 7.97\text{MHz}$ é a BW mínima **em baseband** necessária p/ transmitir o pulso RRC. Após a heterodinação *c/* a frequência f_c do DDS do *upconverter* (vide Figura 1(a) no enunciado no slide 25 do Cap I.2), o espectro dos pulsos RRC resultará centrado na frequência f_c e apresentará duas bandas laterais não idênticas (o que é característico da modulação QAM), definindo assim o sinal **passband** $U[n]$. Desta maneira, após o *upconverter*, a BW **passband** mínima no canal de transmissão p/ transportar sem distorção o sinal $U[n]$ é $BW_{ch} := 2BW_{bb} = 15.94\text{MHz}$.



O filtro *root-raised-cosine* como *shaping filter* & *matched filter*

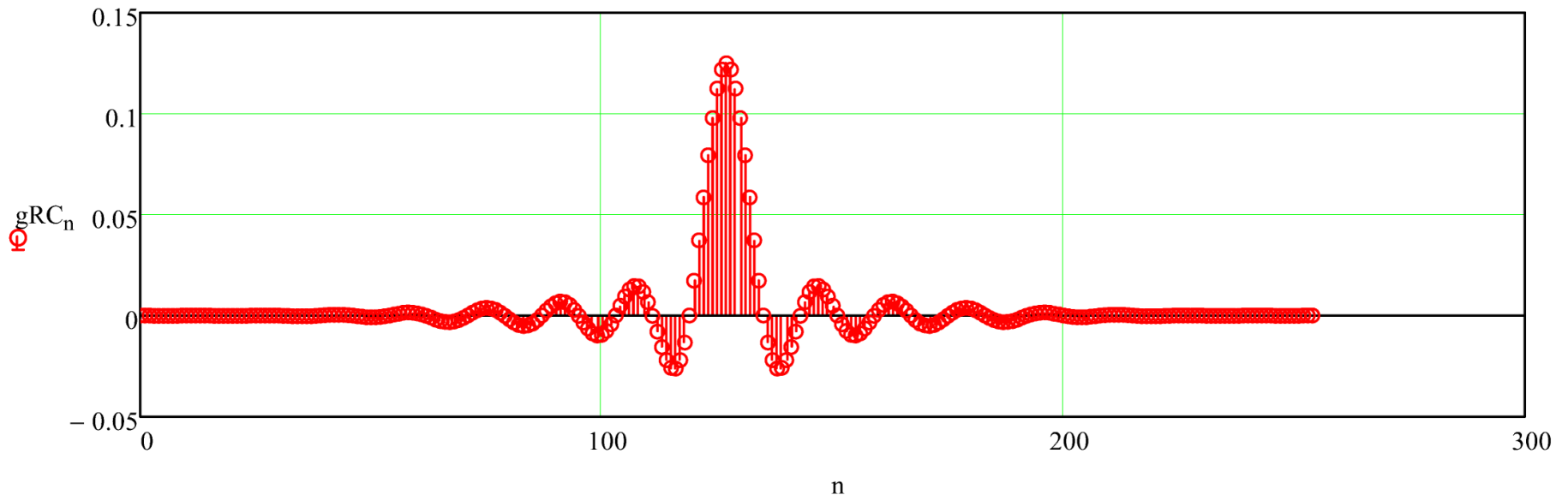
(e) Para determinar a resposta ao impulso $gRC[n]$ do filtro *raised-cosine* (RC) formado pelo filtro RRC do *shaping filter* no TX em série com o filtro RRC do *matched filter* no RX é necessário efetuar $gRC[n]=gRRC[n]*gRRC[n]$. Para efetuar a convolução $gRRC[n]*gRRC[n]$ vamos utilizar o pseudocódigo no Apêndice C.

Efetuando $gRC[n]=gRRC[n]*gRRC[n]$:

$$gRC := \text{Conv}(VRRC, VRRC) \quad (2)$$

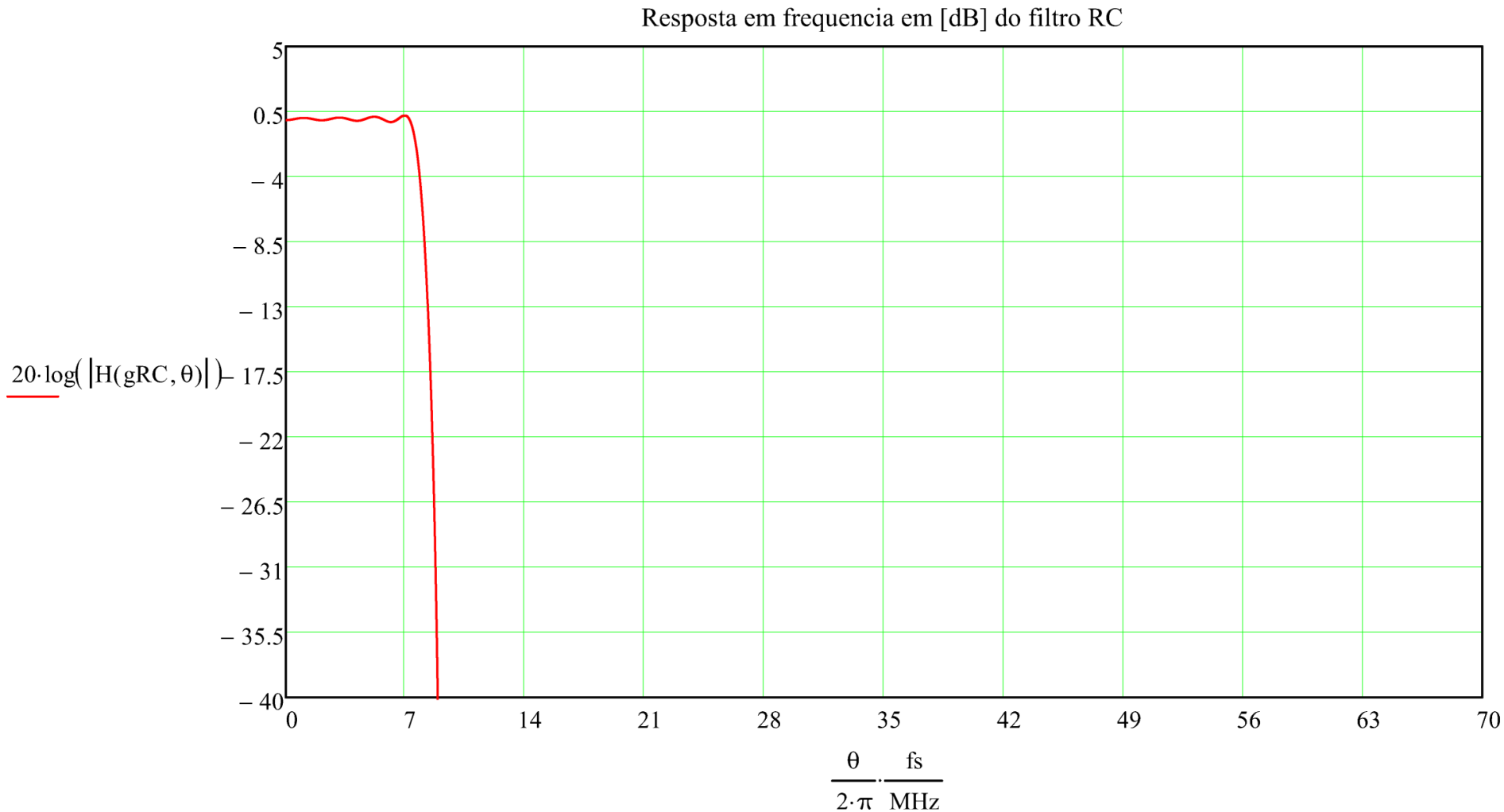
Plotando a resposta ao impulso $gRC[n]$ do filtro RC (*raised-cosine*) formado pelo filtro RRC (*root raised cosine*) do *shaping filter* no TX em série com o filtro RRC do *matched filter* no RX:

$n := 0, 1 \dots \text{length}(gRC) - 1$



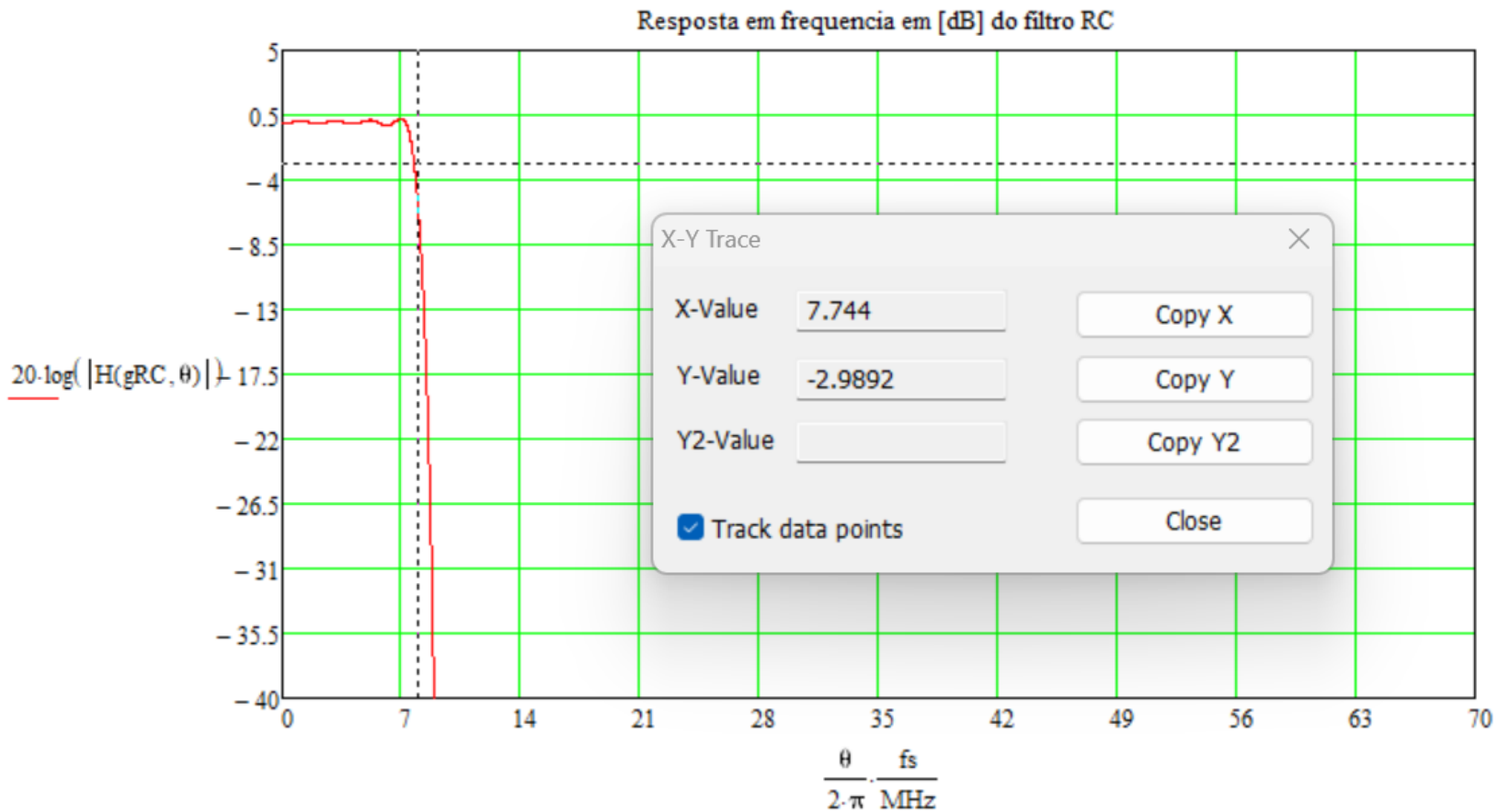
O filtro *root-raised-cosine* como *shaping filter* & *matched filter*

Aplicando a Transformada Z para $z=e^{j\theta}$ dada pela equação (1) na sequência discreta $gRC[n]$ dada pela equação (2), determinando o módulo do resultado e convertendo para dB obtemos a curva de resposta em frequência $H(e^{j\theta})$ do filtro RC (*raised-cosine*) formado pelo filtro RRC (*root raised cosine*) do *shaping filter* no TX em série com o filtro RRC do *matched filter* no RX:



O filtro *root-raised-cosine* como *shaping filter* & *matched filter*

Utilizando a função **trace** (*right-click* no gráfico acima → *left-click* em **trace** → *left-click* no gráfico acima → posicionar *c/* o mouse ou *c/* as setas horizontais do teclado no cruzamento das retas tracejadas em Y-Value = -2.99 dB → ler o valor de X-Value = 7.74 MHz) obtemos $BW_{rc} := 7.74\text{MHz}$.



O filtro *root-raised-cosine* como *shaping filter* & *matched filter*

Bitrate do sistema:

16-QAM $\rightarrow M := 16$

$$\text{NumBitsPorSimbolo} := \frac{\ln(M)}{\ln(2)} = 4$$

$$\text{SystemBitRate} := \text{SymbolRate} \cdot \text{NumBitsPorSimbolo} = 64 \cdot \text{MHz} \quad [\text{Mbps}]$$

Capacidade de canal $C_{bb}[\text{Mbps}]$ do canal *baseband* cuja banda passante $\text{BW}_{rc} = 7.74 \text{MHz}$ foi determinada acima:

O fator 2 é necessário devido haver dois subcanais em paralelo: o subcanal I e o subcanal Q.

$$C_{bb} := \frac{2}{\ln(2)} \cdot \text{BW}_{rc} \cdot \ln\left(1 + 10^{\frac{\text{SNR}}{10}}\right) = 154.293 \cdot \text{MHz} \quad [\text{Mbps}]$$

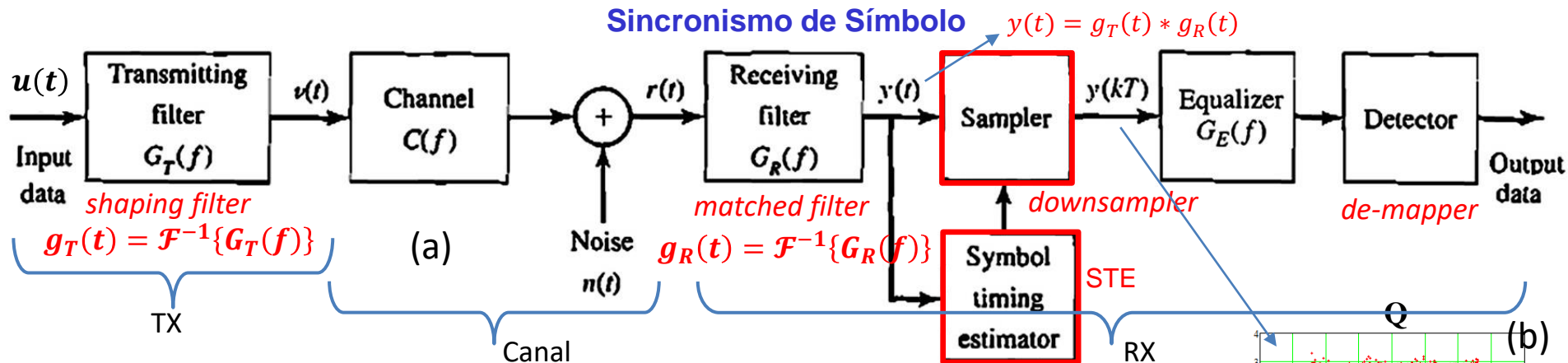
Capacidade de canal $C_{pb}[\text{Mbps}]$ do canal *passband* cuja banda passante $\text{BW}_{ch} = 15.94 \text{MHz}$ foi determinada em (d):

$$C_{pb} := \frac{1}{\ln(2)} \cdot \text{BW}_{ch} \cdot \ln\left(1 + 10^{\frac{\text{SNR}}{10}}\right) = 158.878 \cdot \text{MHz} \quad [\text{Mbps}]$$

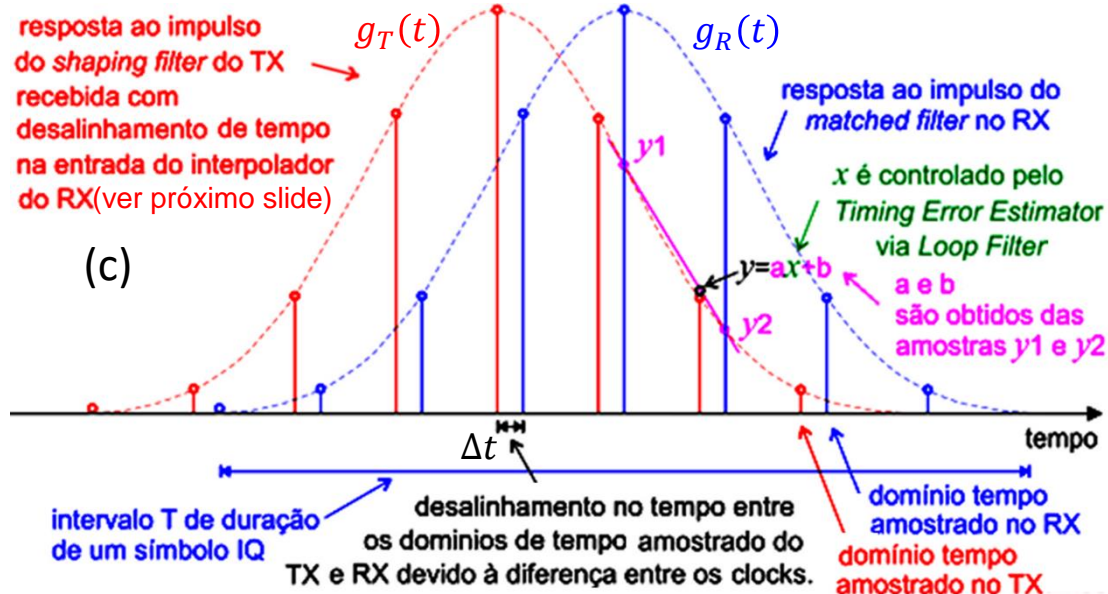
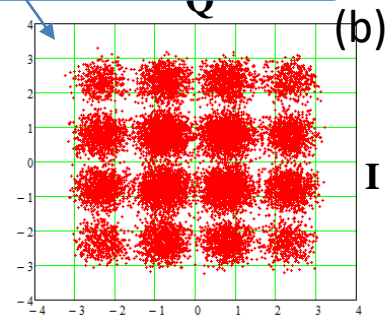
Visto que $\text{SystemBitRate} < C_{bb}$ então o canal *baseband* opera abaixo da sua capacidade de canal.

Visto que $\text{SystemBitRate} < C_{pb}$ então o canal *passband* opera abaixo da sua capacidade de canal.

Sincronismo de Símbolo



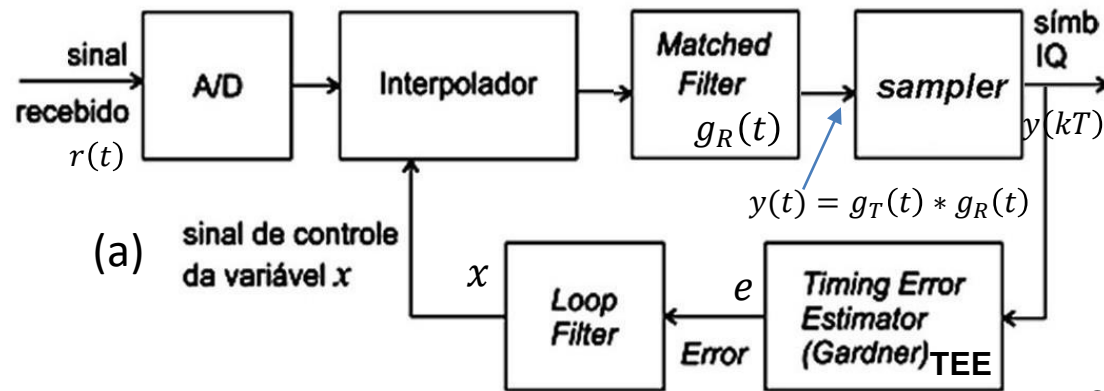
A figura (a) acima mostra o diagrama simplificado em *baseband* de um sistema 16-QAM em que $g_T(t)$ e $g_R(t)$ representam a resposta ao impulso de um filtro FIR *root-raised-cosine* de 127 coeficientes, *roll-off* $\alpha = 0.15$ e com $K_S = 8$ amostras por intervalo de símbolo T . Não há multipercursos nem ruído no canal de transmissão. O gráfico em (b) mostra a significativa dispersão de símbolos resultante na saída $y(kT)$ do *downsampler* quando o bloco *symbol timing estimator* (STE) em (a) está inoperante e quando o *clock* do *hardware* do RX resulta desalinhado do *clock* do *hardware* do TX de um atraso de $T/8$ no tempo, gerando BER não nula na saída do *de-mapper*.



A figura em (c) mostra a causa da dispersão dos símbolos mostrada em (b), por inoperância do bloco STE. Em qualquer situação de operação prática do TX e RX, os *clocks* dos seus respectivos *hardwares* nunca estarão em sincronismo (alinhados no tempo), porque o oscilador a cristal do *clock* no *hardware* do TX nunca terá a exata frequência do oscilador a cristal do *clock* do RX devido à diferença de temperatura nos locais de operação do TX e RX como também devido à própria imprecisão intrínseca na frequência do cristal no processo de fabricação. Em operação normal o bloco STE ajusta o instante de amostragem do *sampler*, de modo a compensar o desalinhamento Δt entre $g_T(t)$ e $g_R(t)$, evitando assim o problema da dispersão dos símbolos observada em (b).

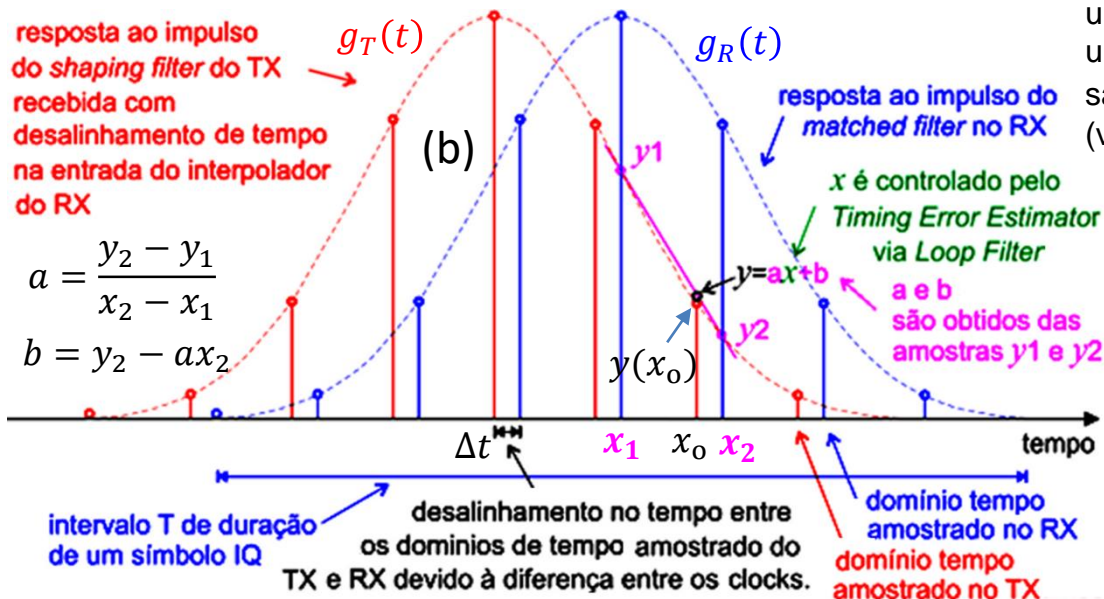
Sincronismo de Símbolo

Ocorre que a abordagem referida no slide anterior em que o bloco STE ajusta o instante de amostragem do *sampler* pode causar inúmeros problemas de temporização do *hardware*, em particular para sistemas implementados em lógica programável (FPGA). Uma solução alternativa largamente adotada para minimizar, conforme discutido no slide anterior, o sempre presente problema de o *clock* do *hardware* do RX estar desalinhado do *clock* do *hardware* do TX é efetuar um *re-sampling* através de um interpolador antes do *matched-filter* de modo a realinhar as amostras entre $g_T(t)$ e $g_R(t)$ sem alterar o intervalo de amostragem T do *sampler*, conforme mostrado em (a). O desalinhamento Δt entre $g_T(t)$ e $g_R(t)$ é mostrado em (b).



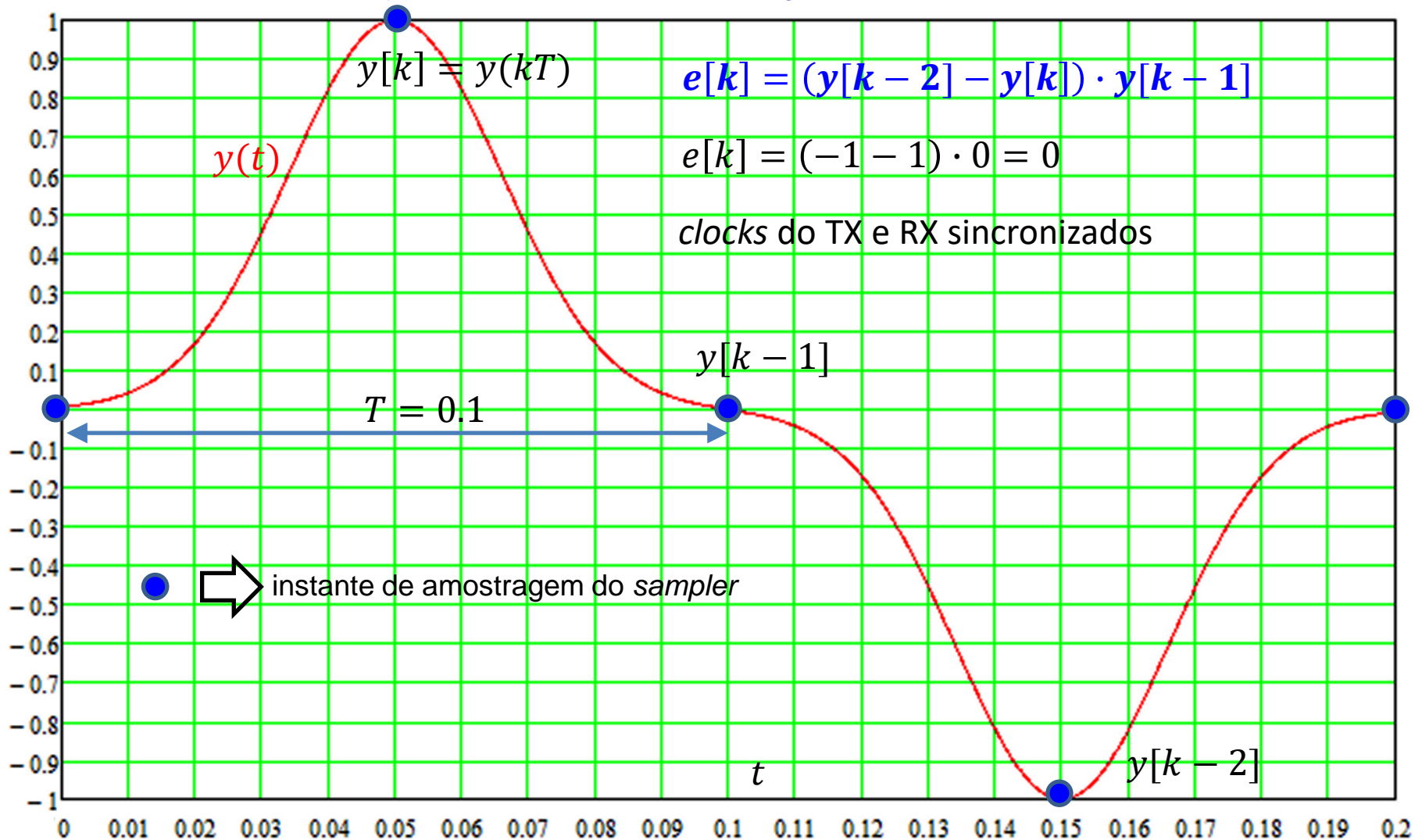
O bloco TEE mede o sinal $y(kT)$ e determina o desalinhamento Δt entre as amostras de $g_T(t)$ e $g_R(t)$ através da função de erro de Gardner $e[k] = (y[k-2] - y[k]) \cdot y[k-1]$ (ver slides 39 a 41), sendo $y[k] = y(kT)$, e onde $e[k]$ é o erro instantâneo e na saída do TEE. Note que a função de erro de Gardner necessita 2 amostras de $y(t)$ por período de símbolo T para determinar uma amostra $e[k]$ do erro instantâneo.

O erro $e[k]$ é filtrado pelo *loop filter*, que é basicamente um integrador discreto no tempo (ver slide 42). Sendo um integrador, o *loop filter* mantém constante a sua saída x imediatamente após $e[k]$ estabilizar em zero (ver <https://en.wikipedia.org/wiki/Integrator>).

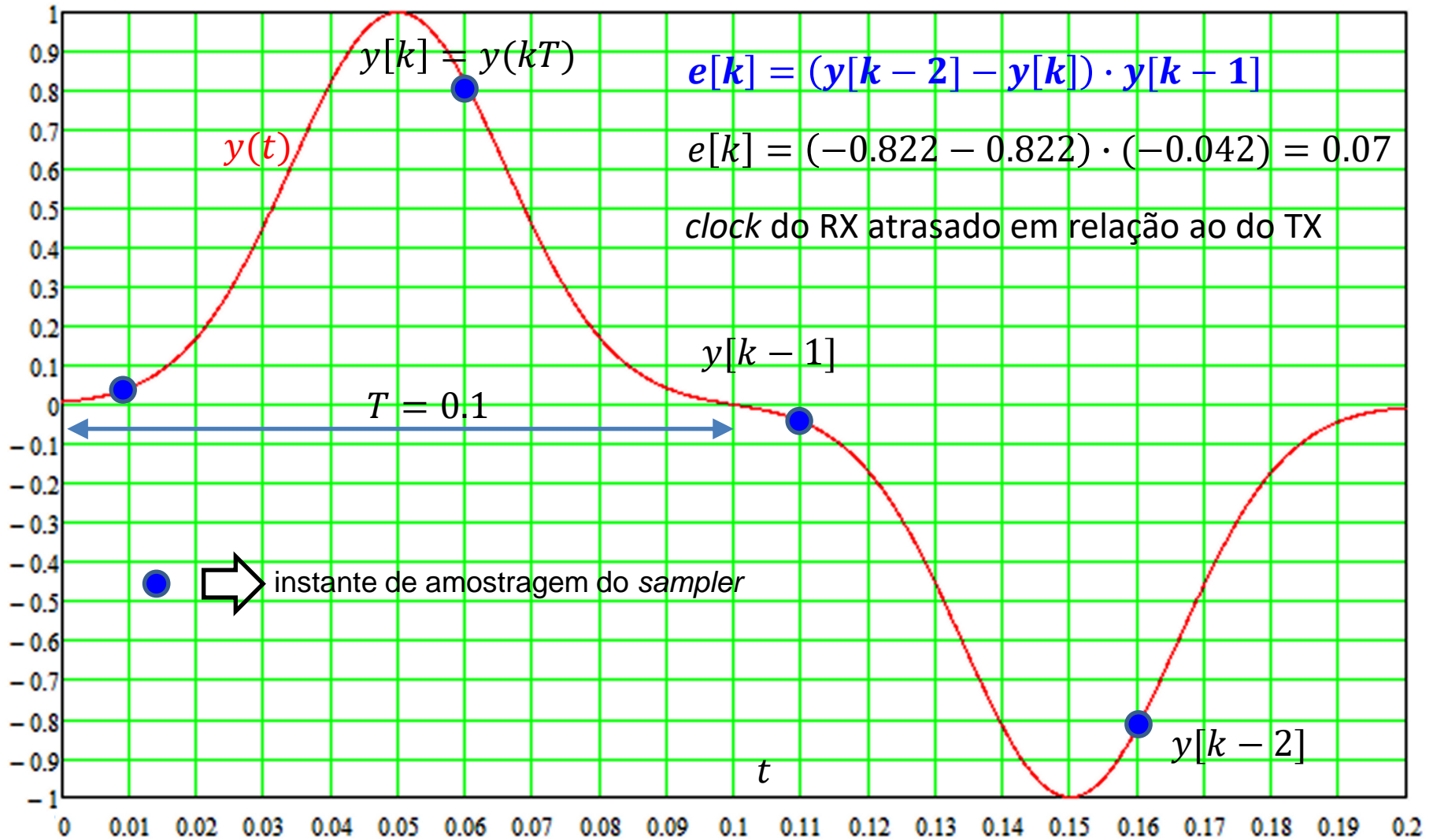


Note em (b) que a saída x do *loop filter* (ver slide 42) controla a reta $y(x) = ax + b$ do interpolador. A cada iteração k , $y_2 = g_T(x_2)$ recebido é substituído por $g_T(x) = y(x) = ax + b$. Após a k -ésima amostra recebida, $k > 5000$ ou mais, o *loop* converge, i.e., $e[k] \rightarrow 0$ e a saída x do *loop filter* estabiliza a reta em $y(x_0) = ax_0 + b$ recuperando a amostra $y(x_0) = g_T(x_0)$ que substituiu $y_2 = g_T(x_2)$ e que minimiza o desalinhamento Δt de $g_T(t)$ em relação $g_R(t)$ e assim sincroniza os *clocks*.

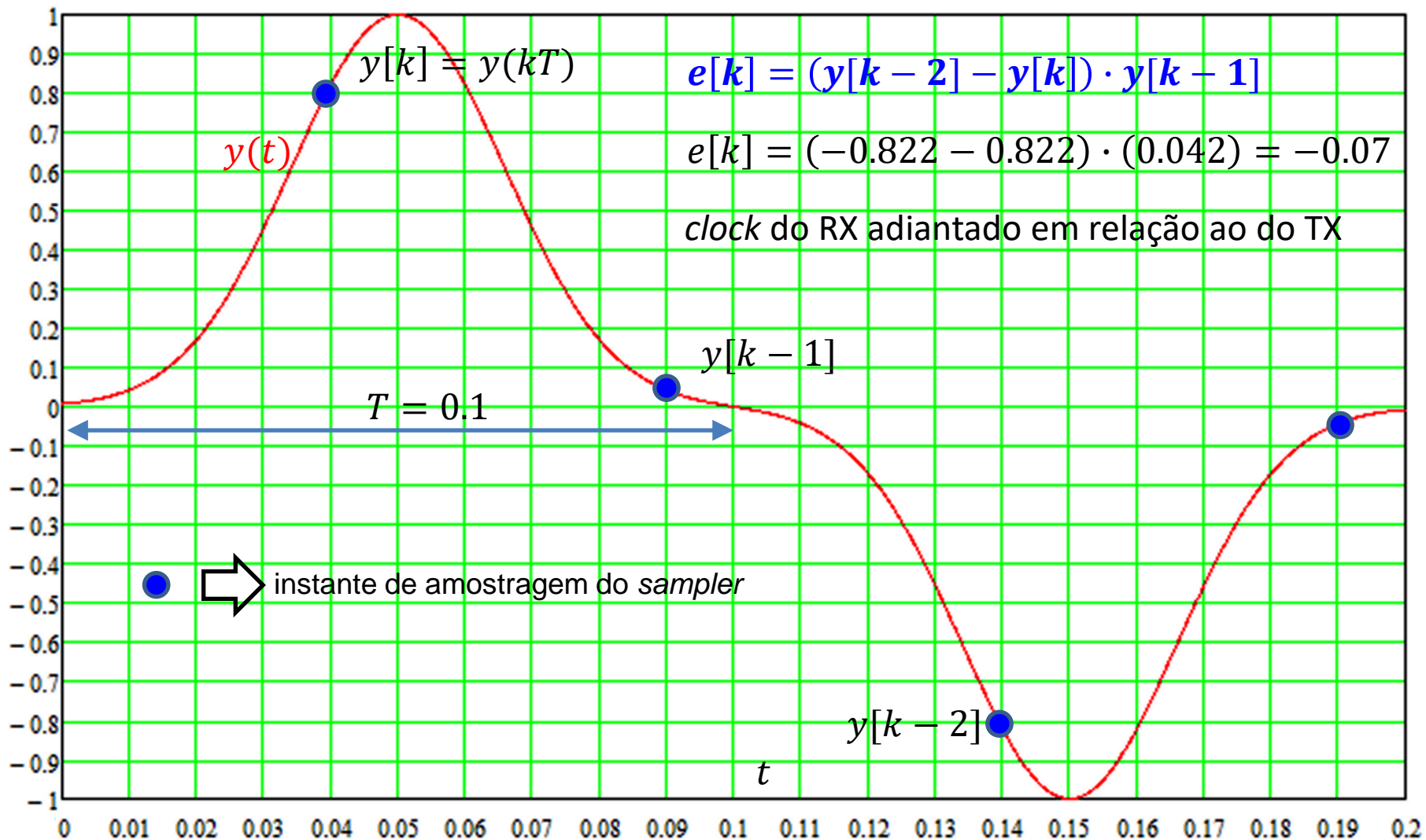
Timing Error Estimator (TEE) – função de erro de Gardner



Timing Error Estimator (TEE) – função de erro de Gardner

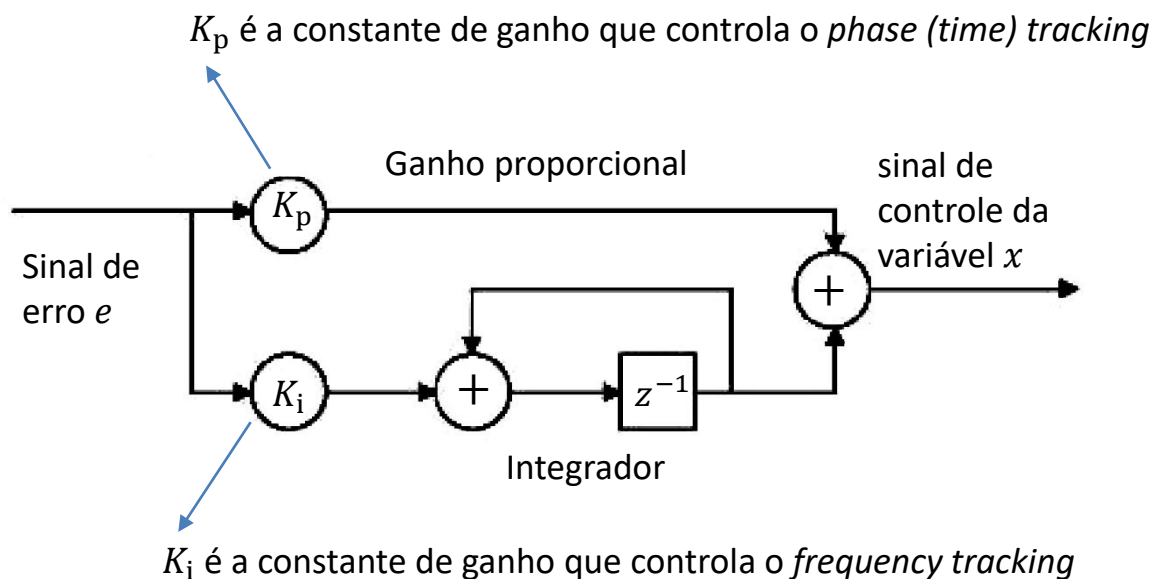


Timing Error Estimator (TEE) – função de erro de Gardner



Note que o TEE de Gardner falha se os pulsos adjacentes no tempo em $y(t)$ tiverem sinais algébricos iguais. Mas isto não afeta a convergência do *loop*, porque qualquer sistema digital contempla um *scrambler* na entrada do modulador (*energy dispersal scrambler* - ver <https://en.wikipedia.org/wiki/Scrambler>) que torna aleatória e uniforme a distribuição dos símbolos IQ transmitidos p/ efeito de eficiência espectral. Isto faz c/ que após um número suficiente de amostras recebidas obtenha-se a condição de um número igual de pulsos positivos e negativos, não impedindo assim a convergência do *loop* apesar das falhas do TEE de Gardner.

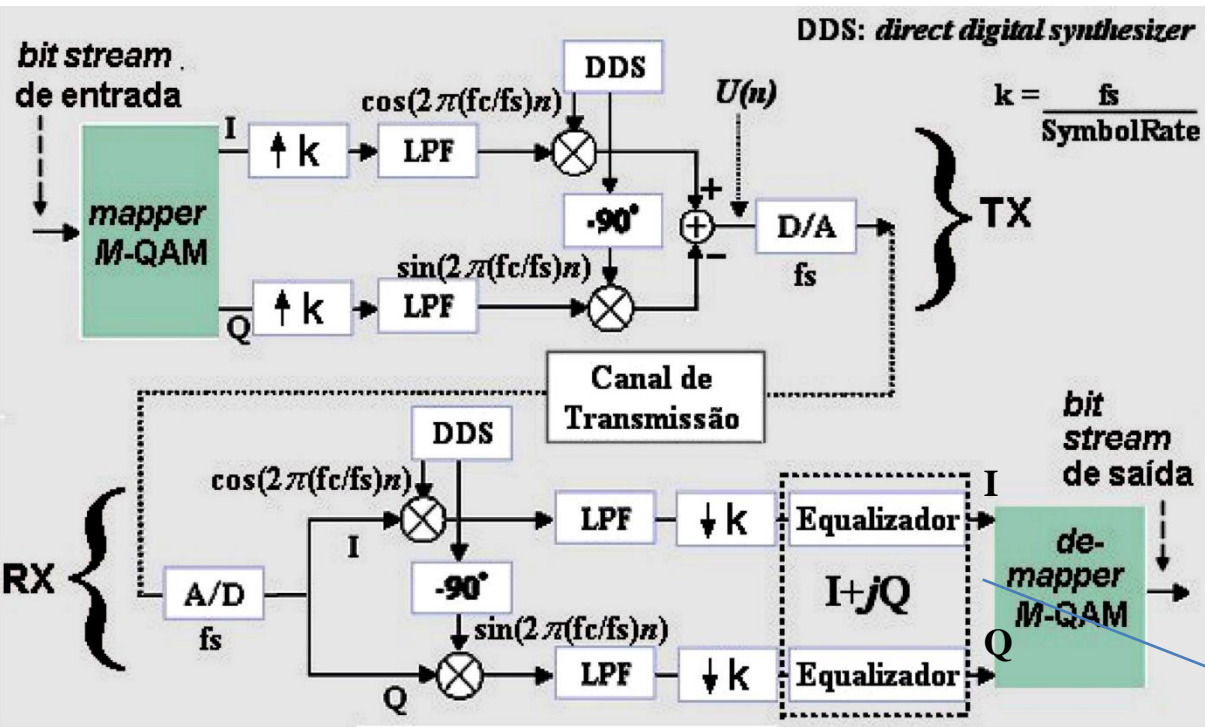
Loop filter – controlador PI (proporcional integrador)



Na prática K_i e K_p são ajustados experimentalmente objetivando: (1) minimizar o erro residual após a convergência do *loop*, (2) minimizar o tempo de convergência do *loop* e (3) minimizar eventual instabilidade (oscilação) do *loop*. Pode ser necessário acrescentar um controlador PD para assegurar a estabilidade do *loop* – ver <https://www.embarcados.com.br/controlador-pid-digital-parte-1/> e <https://www.embarcados.com.br/controlador-pid-digital-parte-2/>.

Ainda, no âmbito da prática, o interpolador linear implementado através da reta $y = ax + b$ descrito nos slides 37 e 38 é instrutivo sob o ponto de vista didático mas não é a melhor técnica de interpolação para sincronismo de símbolo. Na prática, é usual utilizar técnicas de interpolação de maior custo computacional mas de melhor desempenho, como o **Interpolador Cúbico de Farrow** – ver Cap 11.6 “Interpolators” na página 344 de <https://www.fccdecastro.com.br/pdf/PLLWC.pdf>.

Sincronismo de Portadora

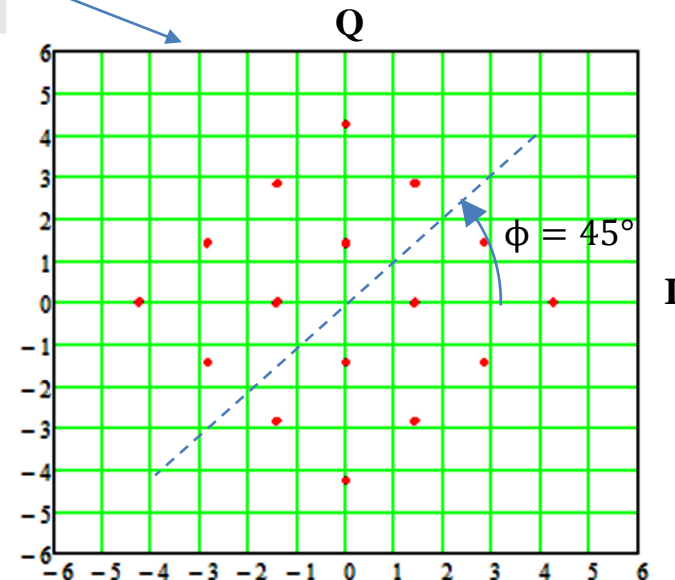


Consideremos um enlace *wireless* 16QAM com $f_c = 300\text{MHz}$, de modo que o comprimento da onda que se propaga no canal de transmissão entre a antena TX e a antena RX é $\lambda = c/f_c = 1.0\text{m}$, sendo $c = 3 \times 10^8 \text{ m/s}$ a velocidade de propagação da onda. Vamos supor que a distância entre a antena TX e a antena RX seja $\ell = 100.125 \text{ m}$.

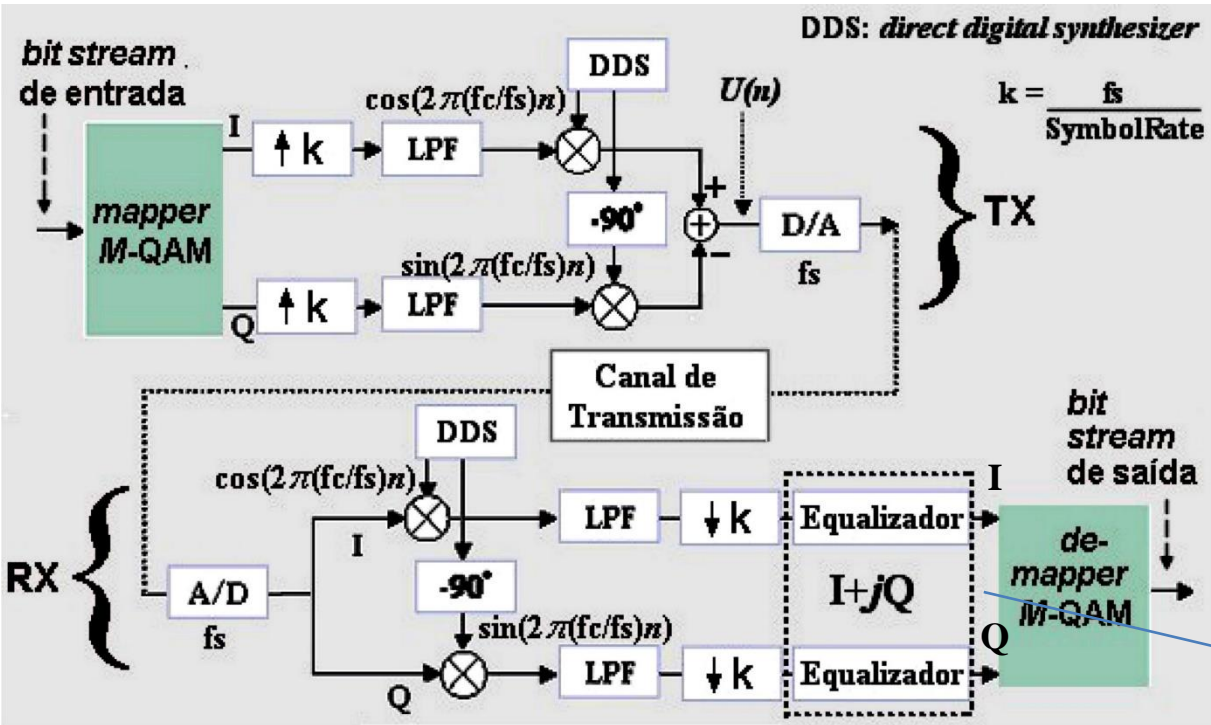
Uma onda eletromagnética plana varia sua fase de 360° ao se propagar ao longo de uma distância correspondente a um comprimento de onda λ .

Expressando a distância $\ell = 100.125 \text{ m}$ entre a antena TX e a antena RX em termos do comprimento de onda λ temos que $\ell = 100\lambda + \lambda/8$. Portanto a fase da onda ao incidir na antena RX é $\phi = \frac{\lambda/8}{\lambda} 360^\circ = 45^\circ$. Como a fase dos símbolos IQ demodulados no RX é a fase da senoide recebida na entrada do A/D, então o *offset* de fase $\phi = 45^\circ$ da onda será somado ao ângulo de todos os símbolos IQ resultando que a constelação dos símbolos IQ recebidos será girada de $\phi = 45^\circ$ conforme mostra o gráfico ao lado.

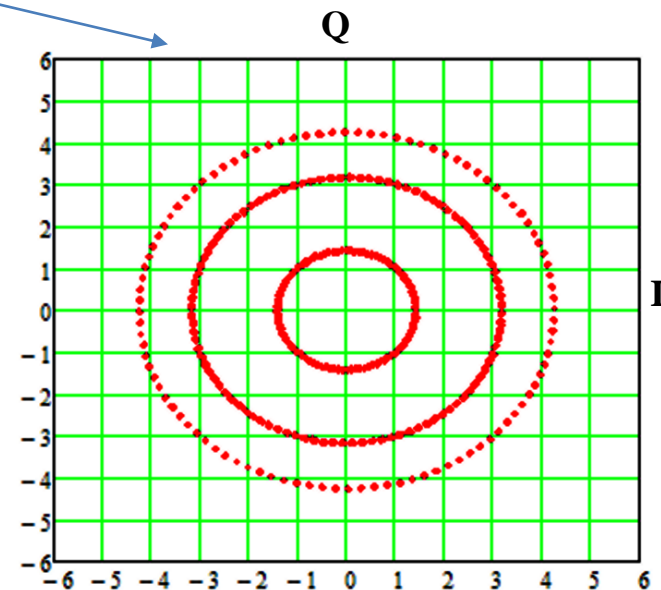
Dado que não há como prever a distância ℓ entre TX e RX, é necessário compensar a fase residual (*phase offset*) resultante da propagação da onda ao longo do canal de transmissão. O sub-sistema responsável por esta compensação do *phase offset* é denominado de **sincronismo de portadora**.



Sincronismo de Portadora



Se o RX está em movimento relativo ao TX então a distância ℓ entre TX e RX varia com o transcorrer do tempo (situação de operação usual em telefonia celular, por exemplo). Em consequência o *offset* de fase ϕ também variará com o tempo t . O resultado é que os símbolos IQ recebidos giram com uma velocidade angular $\omega = \frac{d\phi}{dt}$, conforme mostra o gráfico ao lado. Nesta situação dinâmica o sincronismo de portadora deve compensar não somente o *offset* de fase ϕ da constelação de símbolos IQ recebidos como também a frequência $\omega = \frac{d\phi}{dt}$ de giro dos símbolos IQ, caso contrário a BER na saída do *de-mapper* será muito alta.



Sincronismo de Portadora

Uma técnica usual p/ compensar o *offset* de fase ϕ dos símbolos IQ recebidos como também a frequência $\omega = \frac{d\phi}{dt}$ de giro dos símbolos IQ é a adoção de um PLL (*phase locked loop*), conforme mostrado em (a), (b) e (c) - ver https://en.wikipedia.org/wiki/Phase-locked_loop e Cap 11.4 de <https://www.fccdecastro.com.br/pdf/PLLWC.pdf>.

A saída v_d do *phase detector* em (b) é uma tensão de erro que é proporcional à diferença de fase entre as entradas v_1 e v_2' . v_d é filtrada por um *loop filter* que é um controlador PI (filtro RC em (c)) com função similar ao *loop filter* do sub-sistema de sincronismo de símbolo descrito no slide 38. A saída v_f do *loop filter* controla a frequência de um oscilador controlado por tensão (VCO - *voltage controlled oscillator*) cuja saída v_2 é realimentada ao *phase detector* através do divisor por N. Para $N = 1$, após o *settling time* do *loop* (que depende dos parâmetros do *loop filter*), tanto a fase como a frequência ω_2 do sinal v_2 serão idênticas a de v_1 , estabelecendo assim o sincronismo de portadora entre TX e RX.

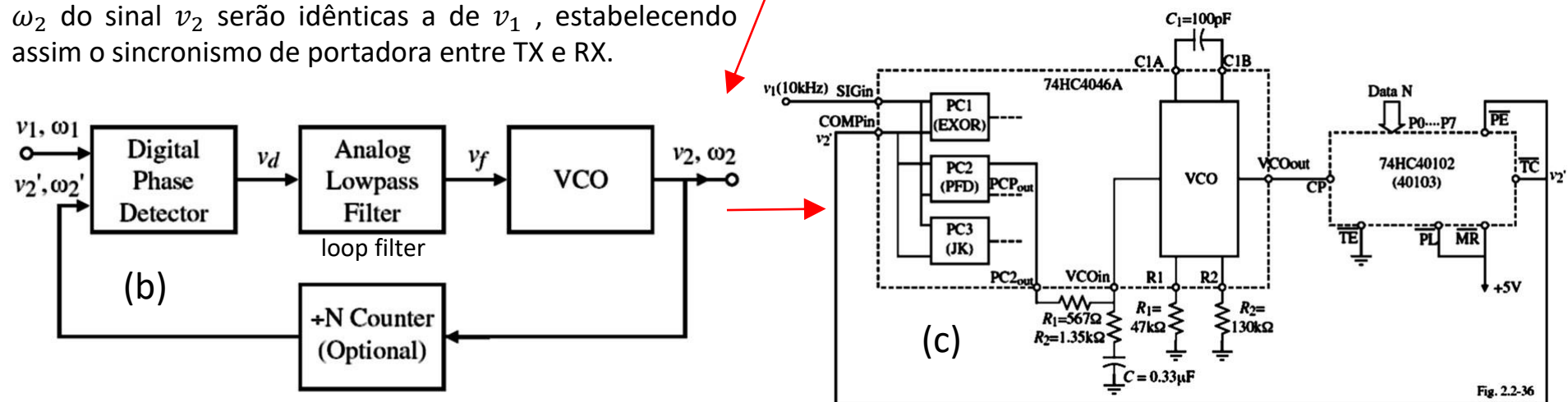
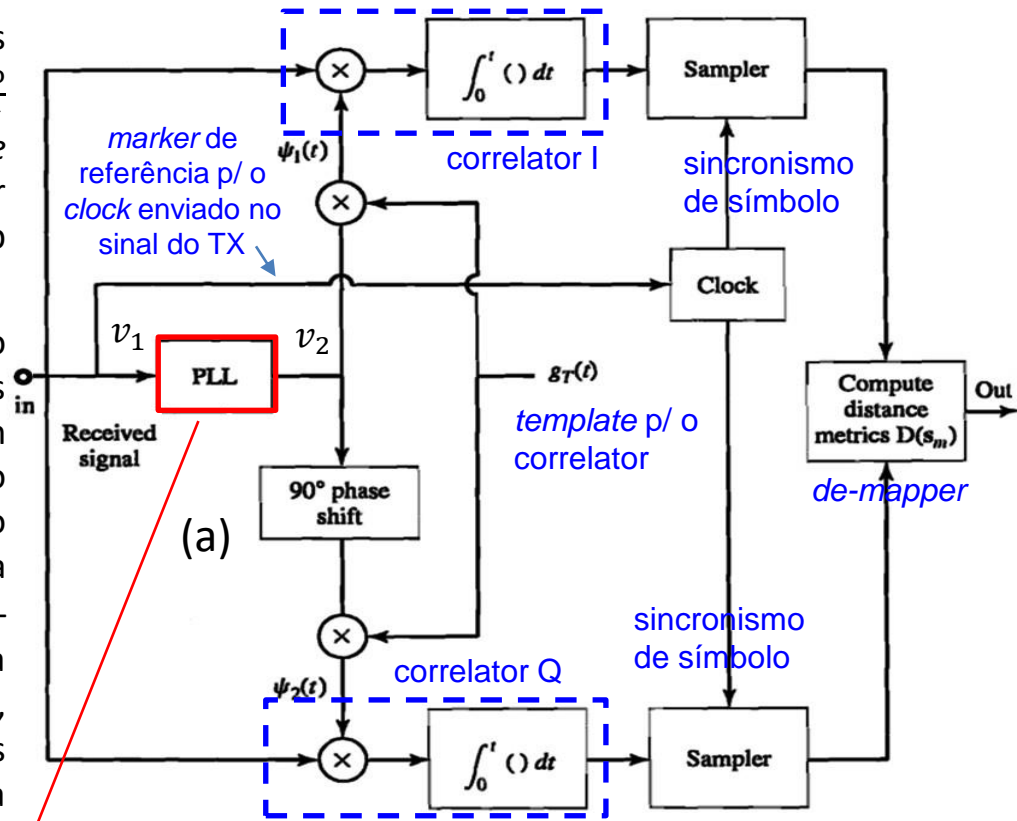
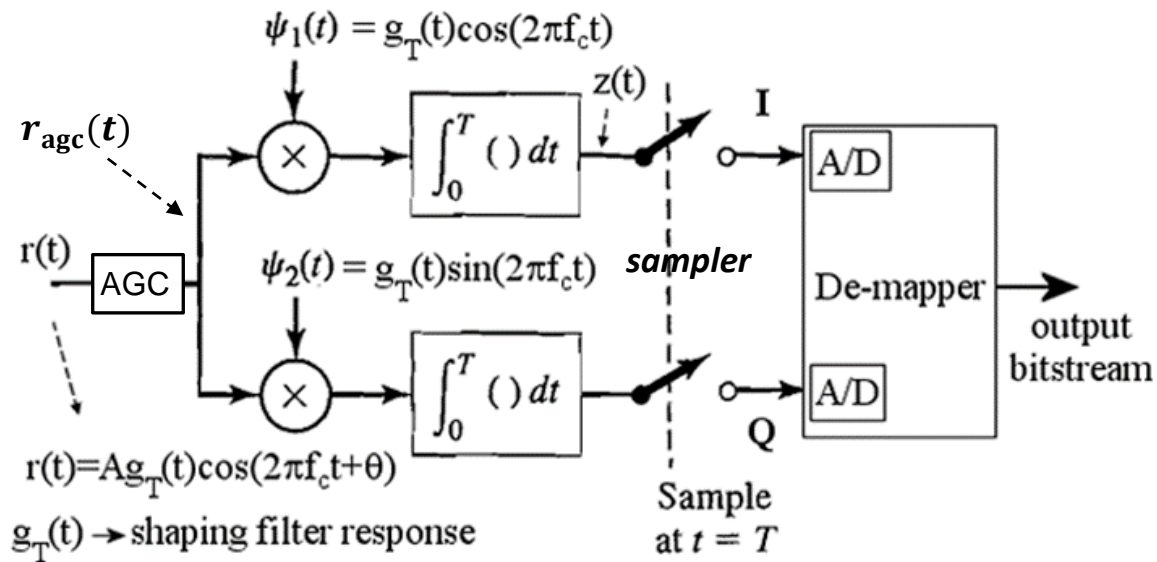


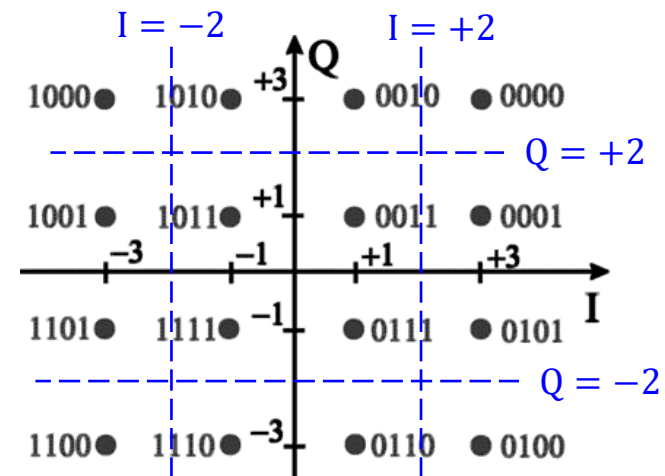
Fig. 2.2-36

Sincronismo de Portadora

Exemplo 2: O diagrama abaixo mostra a etapa de demodulação de um RX 16-QAM com detecção por correlador analógico.



(a) Diagrama de blocos do demodulador 16-QAM.



(b) Constelação adotada no de-mapper do RX 16-QAM.

Figura 1: Etapa de demodulação de um RX 16-QAM.

A taxa do *bitstream* na saída do *de-mapper* é 40 Mbps e a frequência da portadora é $f_c = 430\text{MHz}$. Cada símbolo IQ tem uma duração $T = 1/\text{symbol rate}$, onde *symbol rate* é a taxa de símbolos IQ na entrada do *de-mapper*.

O sistema de sincronismo de símbolo (slides 37 e 38) deste RX é tal que o *sampler* na Figura 1(a) amostra o sinal na saída dos integradores no instante $t = T$ correspondente ao ponto de amplitude máxima do sinal, amostragem que é efetuada em sincronismo no tempo com o *clock* do TX. A amostragem no instante $t = T$ minimiza o ruído e maximiza o sinal, maximizando a SNR na entrada do *de-mapper*, e, portanto, minimiza a BER (*bit error rate*) em sua saída.

O bloco AGC (*automatic gain control*) ajusta a amplitude do sinal $r_{agc}(t)$ recebido de modo que a magnitude (=módulo) dos símbolos IQ na entrada *de-mapper* sejam coerentes com as regiões de decisão (quadrados delimitados pelas linhas tracejadas em azul) da constelação de referência mostrada na Figura 1(b). Especificamente, o AGC ajusta a amplitude do sinal $r_{agc}(t)$ de modo que o maior valor de amplitude de $r_{agc}(t)$ corresponda à magnitude $\sqrt{(\pm 3)^2 + (\pm 3)^2} = 4.243$ dos símbolos IQ nos 4 cantos da constelação de referência mostrada na Figura 1(b).

Pede-se:

- (a)** Determine a frequência de amostragem f_s do A/D e o intervalo T entre as amostras na saída do *sampler* na Figura 1(a).
- (b)** Determine o *symbol rate* deste sistema.
- (c)** Assuma que o sistema de sincronismo de portadora esteja inoperante em razão de defeito em um componente mas que o AGC e o sistema de sincronismo de símbolo estejam ativos e operando corretamente. Nesta situação operacional, a amplitude dos símbolos IQ recebidos é coerente com as regiões de decisão do *de-mapper* mostradas em azul na Figura 1(b) mas a fase residual φ não é compensada no sinal recebido $r(t) = Ag_T(t) \cos(2\pi f_c t + \theta + \varphi)$. Sabe-se que as coordenadas geográficas nas quais estão localizados o TX e o RX são tais que eles encontram-se distantes entre si de $l = 0.25$ Km, não estando TX e RX em movimento relativo um ao outro nem tampouco havendo multipercurso no cenário de operação. Determine para esta situação operacional qual palavra binária resulta na saída do *de-mapper* do RX caso o TX transmita a palavra binária **0001**. Considere $c = 2.99792458 \times 10^8$ m/s a velocidade de propagação da onda EM que transporta os pulsos *passband* do *shaping filter* através do canal de transmissão no enlace entre TX ao RX.
- (d)** Assuma as mesmas condições operacionais do item (c), exceto que o RX move-se com uma velocidade $v=90$ Km/h em relação ao TX. Nesta situação $r(t) = Ag_T(t) \cos(2\pi f_r t + \theta + \varphi)$ é tal que $f_r \neq f_c$ devido ao efeito Doppler ocasionado pelo movimento relativo entre TX e RX sob velocidade v . O efeito Doppler em um canal sem multipercurso (i.e, em um canal AWGN) apenas faz o conjunto de símbolos IQ recebidos girar com uma velocidade angular $\omega_D = 2\pi f_{\text{doppler}}$ sobre o mapa da constelação de referência mostrado na Figura 1(b), sendo $f_{\text{doppler}} = vf/c$. Determine o quanto gira (em graus) por ação do efeito Doppler cada novo símbolo IQ recebido em relação ao símbolo recebido em instante imediatamente anterior.
- (e)** A partir do resultado em (d) determine quantos símbolos IQ precisam ser recebidos para que o desvio Doppler gire de 45° a constelação dos símbolos IQ recebidos em relação à constelação de referência.
- (f)** A partir do resultado em (e) determine quanto tempo transcorre para que o desvio Doppler gire de 45° a constelação dos símbolos IQ recebidos em relação à constelação de referência.

Solução:

Para a solução deste exemplo vamos usar o *script* Mathcad Exemplo2.xmcd disponível em https://www.fccdecastro.com.br/ZIP/SCD2_C1_E2S46.zip.

(a) Do enunciado, a taxa do *bitstream* na saída do *de-mapper* é $\text{bitrate} := 40\text{MHz [Mbps]}$ e da Figura 1(b) do enunciado temos que o número de bits por símbolo IQ é $\text{NBitsPerSymbol} := 4$.

Daí:
$$\text{SymbolRate} := \frac{\text{bitrate}}{\text{NBitsPerSymbol}} = 10 \cdot \text{MHz}$$

Uma vez que o correlator é analógico, o A/D que segue o correlator na Figura 1(a) digitaliza uma amostra por símbolo IQ. Daí:

$$f_s := \text{SymbolRate} = 10 \cdot \text{MHz} \rightarrow \text{frequência de amostragem do AD} \quad T_s := \frac{1}{\text{SymbolRate}} = 0.1 \cdot \mu\text{s} \rightarrow \text{duração de um símbolo IQ}$$

(b) Vide item (a).

(c) Do enunciado, a palavra binária B_{tx_0} transmitida é $B_{tx_0} := "0001"$. ←

Por inspeção visual da Figura 1(b) do enunciado, a palavra binária $B_{tx_0} = "0001"$ resulta no símbolo $St_{x_0} = (3 + i)$ na saída do *mapper* do TX.

Se o sincronismo de portadora do RX estivesse operacional, o símbolo transmitido $St_{x_0} = (3 + i)$ pelo TX resultaria na palavra binária $Br_{x_0} = "0001"$ na saída do *de-mapper* do RX, palavra binária recebida no RX que corresponde à palavra $B_{tx_0} = "0001"$ originalmente transmitida pelo TX - vide Figura 1(b) do enunciado.

Sincronismo de Portadora

No entanto, do enunciado, o sincronismo de portadora do RX está inoperante. Portanto, o ângulo ϕ residual (que é uma função da distância entre TX e RX) não será compensado e os símbolos recebidos estarão todos girados de ϕ em relação aos símbolos da constelação de referência mostrada na Figura 1(b). Determinando o valor do ângulo residual ϕ :

Do enunciado: $L := 0.25 \cdot \text{km} \rightarrow$ distância entre TX e RX $f_c := 430 \cdot \text{MHz} \rightarrow$ frequência da onda EM portadora

$\lambda := \frac{c}{f_c} = 0.697 \text{ m} \rightarrow$ comprimento de onda da onda EM portadora de frequência f_c

$\text{Num}\lambda := \frac{L}{\lambda} = 358.581 \rightarrow \text{N} := \text{floor}(\text{Num}\lambda) = 358 \rightarrow \text{Num}\lambda$ é um número em ponto flutuante que expressa quantos

comprimentos de onda λ separam TX e RX um do outro. $\text{N} = \text{floor}(\text{Num}\lambda)$ expressa quantos comprimentos de onda inteiros separam TX e RX um do outro. Nota: A onda EM exibe variação de fase de $2\pi\text{N}$ [rad] ao se propagar um número N inteiro de comprimentos de onda λ ao longo do percurso de propagação.

$\text{Frac}\lambda := \text{Num}\lambda - \text{floor}(\text{Num}\lambda) \rightarrow \text{Frac}\lambda = 0.581 \rightarrow$ fração decimal de λ que, se somado ao número inteiro de λ 's que separam TX e RX resulta na distância exata entre TX e RX, distância expressa em comprimentos de onda.

Daí, $\phi := \text{Frac}\lambda \cdot 2 \cdot \pi \rightarrow \phi = 209.305 \text{ deg}$. Assim, o símbolo IQ Stx_0 transmitido sofre uma rotação de fase

$\phi = 209.305 \text{ deg}$ em relação ao seu valor original, **causado pelo giro de fase ϕ da onda EM no percurso entre TX e RX**, o que resulta um símbolo IQ Srx_0 recebido na entrada do *de-mapper* do RX dado por:

$$\text{Srx}_0 := \text{Stx}_0 \cdot e^{j \cdot \phi} = (-2.127 - 2.34i)$$

E, por inspeção visual da Figura 1(b) do enunciado, o valor IQ $\text{Srx}_0 = (-2.127 - 2.34i)$ resulta na palavra binária $\text{Brx}_0 = "1100"$ na saída do *de-mapper*, e que não corresponde à palavra $\text{Btx}_0 = "0001"$ originalmente transmitida. Portanto, o fato de o sincronismo de portadora estar inoperante causou a palavra binária transmitida $\text{Btx}_0 = "0001"$ ser recebida como $\text{Brx}_0 = "1100"$, o que constitui um erro do demodulador.

Sincronismo de Portadora

(d) Nesta situação em que o RX move-se a uma velocidade v em relação ao TX temos:

$$r(t) = A \cdot g_T(t) \cdot \cos(2 \cdot \pi \cdot f_r \cdot t + \theta + \phi) \quad \text{onde} \quad f_r = f_c + f_{\text{doppler}}$$

$$v := 90 \cdot \text{kph} \quad \leftarrow$$

$$f_{\text{doppler}} := f_c \cdot \frac{v}{c} = 35.858 \cdot \text{Hz}$$

O oscilador local do *mixer - mixer* é o bloco '⊗' na Figura 1(a) - opera em f_c e a frequência central do sinal $r(t)$ recebido é $f_r = f_c + f_{\text{doppler}}$. Portanto o *mixer* da Figura 1(a) não converte integralmente o sinal $r(t)$ para banda-base, permanecendo uma componente residual de frequência equivalente a f_{doppler} . Desta maneira, se $S_{tx}(n)$ é a sequência de símbolos originalmente transmitidos pelo TX, a sequência de símbolos correspondentes $S_{rx}(n)$ resultante na entrada do *de-mapper* do RX é dada nesta situação por:

$$S_{rx}(n) = S_{tx}(n) \cdot e^{j \cdot 2 \cdot \pi \cdot f_{\text{doppler}} \cdot n \cdot T_s} \quad \text{ou} \quad S_{rx}(n) = S_{tx}(n) \cdot e^{j \cdot 2 \cdot \pi \cdot \frac{f_{\text{doppler}}}{\text{SymbolRate}} \cdot n}$$

Portanto, o conjunto de símbolos IQ recebidos S_{rx} gira com uma velocidade angular ω_D [rad/s] sobre o mapa da constelação de referência mostrado na Figura 1(b), sendo ω_D dada por:

$$\omega_D := 2 \cdot \pi \cdot f_{\text{doppler}} = 225.303 \cdot \frac{\text{rad}}{\text{s}}$$

Daí, cada novo símbolo IQ recebido gira em relação ao símbolo IQ recebido no instante imediatamente anterior de um valor dado por:

$$\text{GiroAngularPorIntervaloDeSimbolo} := T_s \cdot \omega_D = 22.53 \times 10^{-6} \cdot \text{rad}$$

$$\text{GiroAngularPorIntervaloDeSimbolo} = 1.291 \times 10^{-3} \cdot ^\circ$$

Sincronismo de Portadora

(e) O número N_{sr} de símbolos IQ que precisam ser recebidos para que a constelação dos símbolos IQ recebidos gire 45° em relação à constelação de referência é dado por:

$$N_{sr} := \frac{45^\circ}{\text{GiroAngularPorIntervaloDeSimbolo}} = 34859.588$$

(f) O tempo T_{sr} que transcorre para que a constelação dos símbolos IQ recebidos gire 45° em relação à constelação de referência é dado por:

$$T_{sr} := N_{sr} \cdot T_s = 3.486 \cdot \text{ms}$$

Simuladores 16-QAM

Dois simuladores de um sistema TX-RX 16-QAM, um com filtro Gaussiano e outro com filtro *Root Raised Cosine*, implementados em *scripts* MathCad, encontram-se disponíveis no link abaixo:

<http://www.fccdecastro.com.br/ZIP/Simulador16-QAM.zip>.

É instrutivo executar estes *scripts*, comparando o desempenho do sistema com filtro Gaussiano com o desempenho do sistema com filtro *Root Raised Cosine*, alterar os parâmetros e interpretar os resultados gráficos.

Ambos *scripts* possibilitam avaliar o espectro do sinal transmitido e recebido, a degradação da constelação de símbolos IQ recebidos em consequência do ruído gaussiano aditivo e do multipercurso no canal de transmissão, a degradação da constelação de símbolos IQ recebidos em consequência da assincronia de símbolo e em consequência da assincronia de portadora. Note que estes *scripts* não implementam o processo de sincronismo de símbolo como também não implementam o processo de sincronismo de portadora – eles apenas demonstram o efeito do problema de assincronia de símbolo e de assincronia de portadora.

Apêndice A:

Operation	Formula
Rectangular to Polar Conversion	$z = x + jy = re^{j\theta}$ where $r = \sqrt{x^2 + y^2}$ and $\theta = \arctan(y/x)$
Polar to Rectangular Conversion	$z = re^{j\theta} = r [\cos(\theta) + j\sin(\theta)] = x + jy$ where $x = r \cos(\theta)$ and $y = r \sin(\theta)$
Add: $z_3 = z_1 + z_2$	$(x_1 + x_2) + j(y_1 + y_2)$
Subtract: $z_3 = z_1 - z_2$	$(x_1 - x_2) + j(y_1 - y_2)$
Multiply: $z_3 = z_1 z_2$ (polar form)	$(x_1 x_2 - y_1 y_2) + j(x_1 y_2 + y_1 x_2)$ $r_1 r_2 e^{j(\theta_1 + \theta_2)}$
Divide: $z_3 = z_1 / z_2$ (polar form)	$\frac{(x_1 x_2 - y_1 y_2) - j(x_1 y_2 - y_1 x_2)}{x_2^2 + y_2^2}$ $\frac{r_1}{r_2} e^{j(\theta_1 - \theta_2)}$

Apêndice B:

Sejam $u = 2\pi f_1 t$ e $v = 2\pi f_2 t$. Valem as seguintes relações (*relationships*) trigonométricas:

<i>Relationship</i>	<i>Relationship</i>
$\sin u = \cos(u - \pi/2)$	$\cos u = \sin(u + \pi/2)$
$\cos(-u) = \cos u$	$\sin(-u) = -\sin(u)$
$\sin^2 u + \cos^2 u = 1$	$\cos^2 u = \frac{1}{2}(1 + \cos 2u)$
$\sin^2 u = \frac{1}{2}(1 - \cos 2u)$	$\cos(u \pm v) = \cos u \cos v \mp \sin u \sin v$
$\sin(u \pm v) = \sin u \cos v \pm \cos u \sin v$	$\cos u \cos v = \frac{1}{2}[\cos(u - v) + \cos(u + v)]$
$\sin u \sin v = \frac{1}{2}[\cos(u - v) - \cos(u + v)]$	$\sin u \cos v = \frac{1}{2}[\sin(u - v) + \sin(u + v)]$
$\cos u = \frac{1}{2}[e^{ju} + e^{-ju}]$	$\sin u = \frac{1}{2j}[e^{ju} - e^{-ju}]$
$e^{ju} = \cos u + j \sin u$	

→ **heterodinação**
das frequências f_1 e f_2

Apêndice C:

```
Conv(X, Y) := Nx ← length(X) - 1
              Ny ← length(Y) - 1
              for n ∈ 0..(Nx + Ny)
                Zn ← 0.0
                if Nx ≥ Ny
                  Zn ← Zn + ∑m=0n (Xm Yn-m) if n ≤ Ny
                  Zn ← Zn + ∑m=n-Nyn (Xm Yn-m) if (n > Ny) · (n ≤ Nx)
                  Zn ← Zn + ∑m=n-NyNx (Xm Yn-m) if (n > Nx) · [n ≤ (Nx + Ny)]
                otherwise
                  Zn ← Zn + ∑m=0n (Xm Yn-m) if n ≤ Nx
                  Zn ← Zn + ∑m=0Nx (Xm Yn-m) if (n > Nx) · (n ≤ Ny)
                  Zn ← Zn + ∑m=n-NyNx (Xm Yn-m) if (n > Ny) · [n ≤ (Nx + Ny)]
              return Z
```

Pseudocódigo para determinação da sequência $z[n]$ que resulta da convolução discreta no domínio tempo entre as sequências $x[n]$ e $y[n]$, definida por $z[n] = \text{Conv}(x[n], y[n]) = x[n] * y[n]$.